

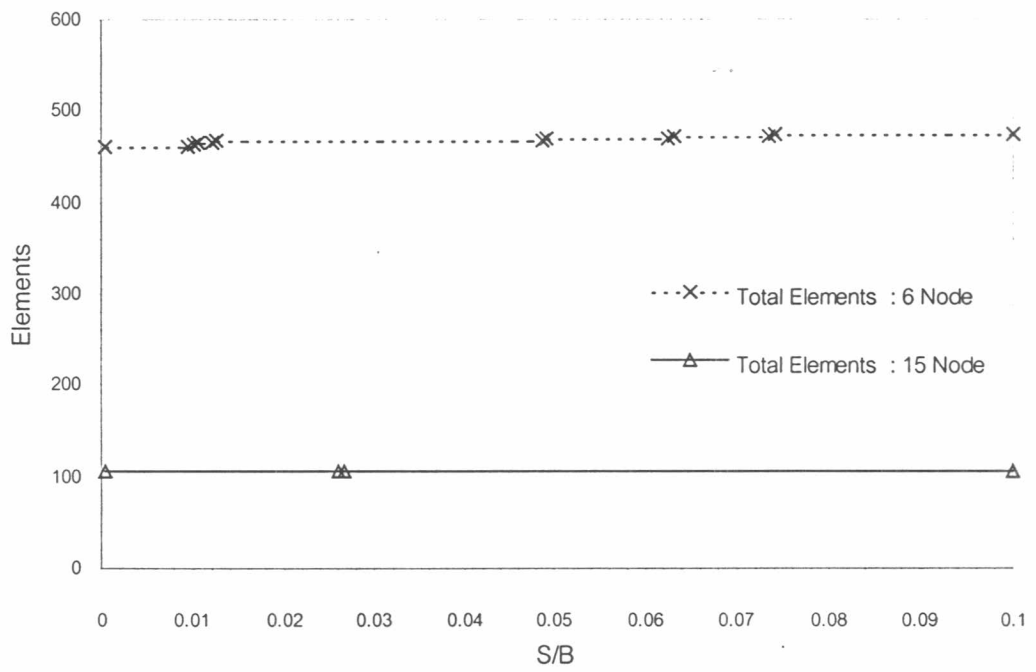
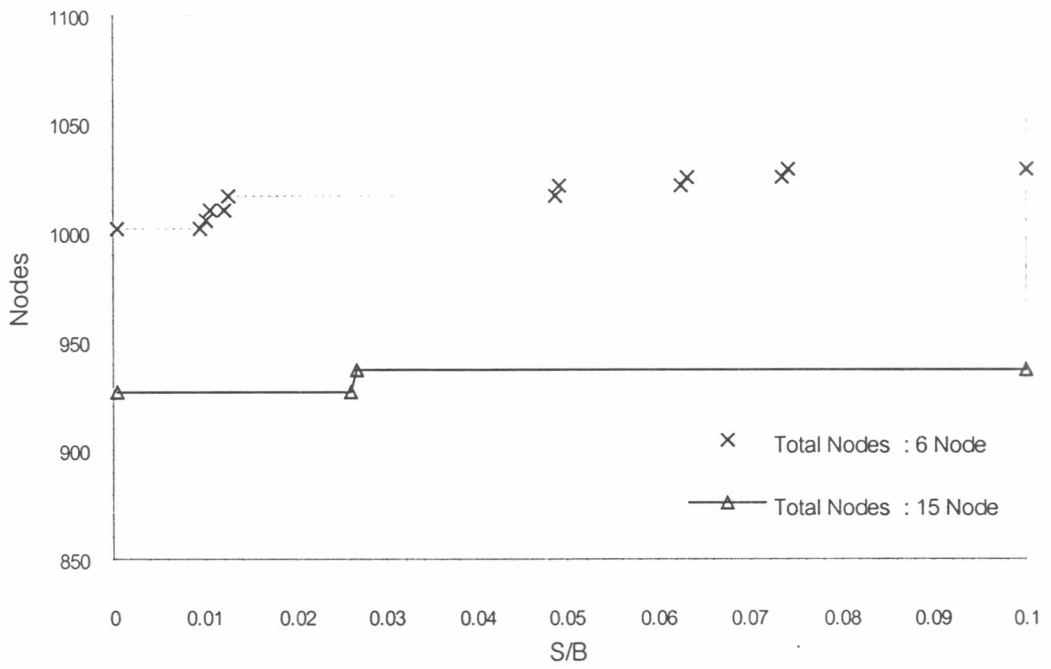
รายการอ้างอิง

- Abbo A.J. and Sloan S.W. 1997. A Finite element program for the analysis of elastoplasticity and consolidation Department of Civil, Surveying and Environmental Engineering, University of Newcastle.
- Bathe K.J. 1996. Finite element procedures Prentice Hall, Englewood Cliffs, New Jersey.
- Belytschko T., Liu W. K. and Moran B. 2000. Nonlinear finite elements for continua and structures John Wiley & Sons Ltd.
- Chen W.F. and Mizuno E. 1990. Nonlinear analysis in soil mechanics Elsevier, Amsterdam, the Netherlands.
- Haber R. B. 1984. A mixed Eulerian-Lagrangian displacement model for large-deformation analysis in solid mechanics Comput. Meth. Appl. Mech. Engng., 43, 277-292.
- Herman L. R. 1976. Laplacian-isoparametric grid generation scheme J. Engng. Mech. Div. ASCE., 102, 749-759.
- Hinton E. and Campbell J. S. 1974. Local and global smoothing of discontinuous finite element functions using a least squares method Int. J. Numer. Methods Engng., 8, 461-480.
- Houlsby G.T. and Martin C.M. 2003. Undrained bearing capacity factors for conical footings on clay Geotechnique 53., 5, 513-520.
- Ho-Le K. 1988. Finite element mesh generation methods :a review and classification Comput. Aided desg., 20, 27-38.
- Hu Y. and Randolph M. F. 1998. A practical numerical approach for large deformation problems in soil Int. J. Num. and Anal. Methods in Geomech.,22,327-350.
- Johnston B. P. and Sullivan J. M. 1992. Fully automatic two dimensional mesh generation using normal offsetting Int. J. Num. Meth. Engng., 33, 425-442.
- Kelly D.W., J.P. de S.R. Gago, Zienkiewicz O. C. and I. Babuska 1983. A posteriori error analysis and adaptive processes in the finite element method :part I -error analysis Int. J. num. Meth. engng., 19, 1593-1619.

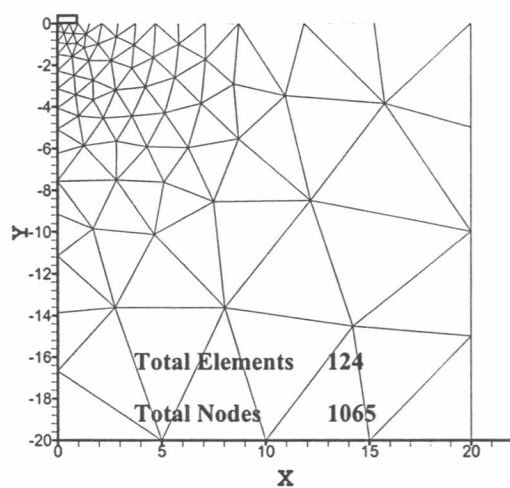
- Liu W. K., Belytschko T. and Chang H. 1986. An arbitrary Lagrangian-Eulerian finite element method for path-dependent materials Comput. Meth. Appl. Mech. Engng., 58, 227-245.
- Liu W. K., Chang H., Chen J. S. and Belytschko T. 1988. Arbitrary Lagrangian-Eulerian Petrov-Galerkin finite elements for nonlinear continua Comput. Meth. Appl. Mech. Engng., 68, 259-310.
- Sloan S.W. 1987. A fast algorithm for constructing Delaunay Triangulations in the plane Advances in Engng Software, 9, 34-55.
- Sloan S.W. 1993. A fast algorithm for constructing Constrained Delaunay Triangulations Computer & Structures, 47, 441-450.
- Smith I. M. and Griffiths D. V. 1998. Programming the finite element method John Wiley & Sons Ltd.
- Wood D. M. 1990. Soil behaviour and critical state soil mechanics Cambridge University Press, Cambridge, New York.
- Zienkiewicz O. C. 1977. The finite element method The third, expanded and revised ed. McGraw-Hill Book Company (UK) Limited.
- Zienkiewicz O. C. and Zhu J. Z. 1992. The superconvergent patch recovery (SPR) and adaptive finite element refinement Comp. Methods Appl. Mech. Engng., 101, 207-224.
- Zienkiewicz O. C. and Zhu J. Z. 1992. The superconvergent patch recovery and a posteriori error estimates. Part 1: The recovery technique Int. J. Numer. Methods Engng., 33, 1331-1364.

ภาคผนวก

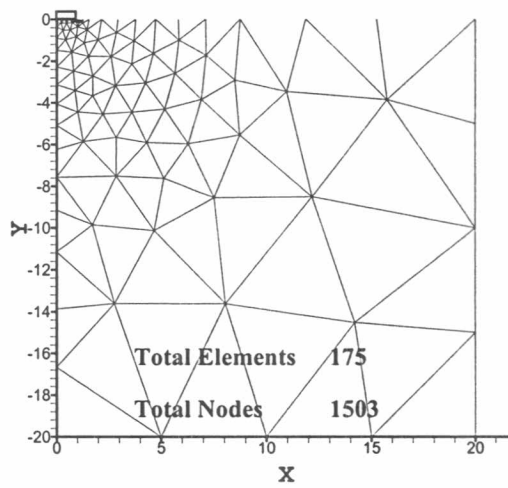
ภาคผนวก ก



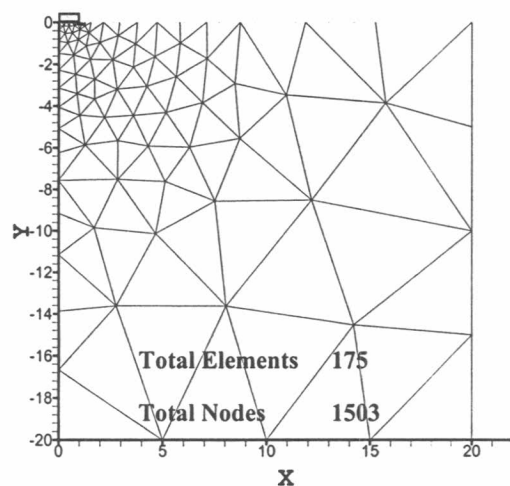
รูปที่ ก.1 เปรียบเทียบจำนวนจุดต่อ และชิ้นส่วนของฐานรากต่อเนื่อง ที่ $D/B=0$ กรณี Small Strain ระหว่างชิ้นส่วนสามเหลี่ยม 6 และ 15 จุดต่อ



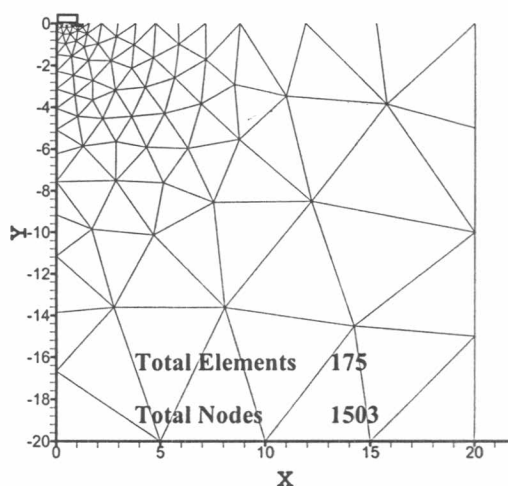
(ก)



(ข)



(ค)

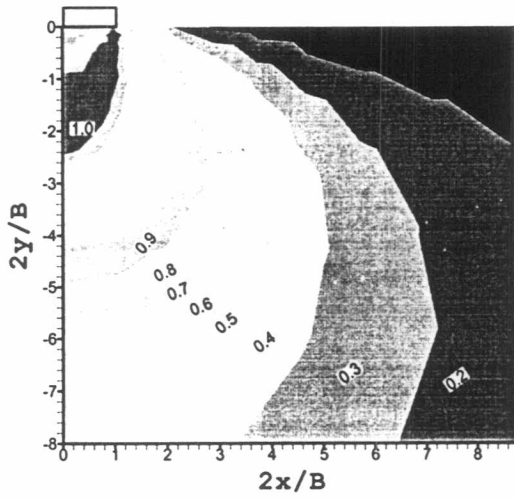


(ง)

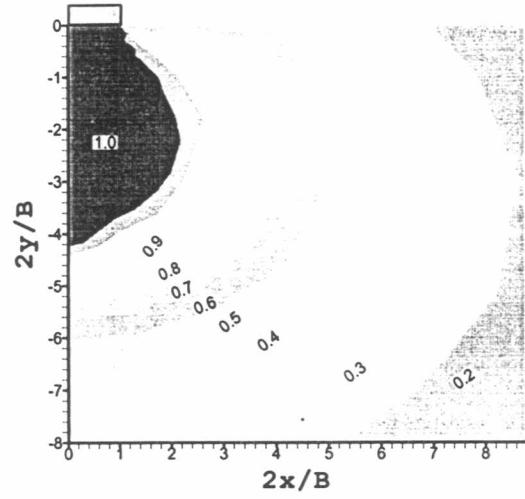
รูปที่ ก.2 การเปรียบเทียบโครงข่ายของชิ้นส่วนของฐานรากต่อเนื่อง $D/B = 0$ กรณี Small Strain (SSC)

(ก) โครงข่ายของชิ้นส่วนควบคุมโดยสมการความหนาแน่น (ข) โครงข่ายของชิ้นส่วนเริ่มต้น

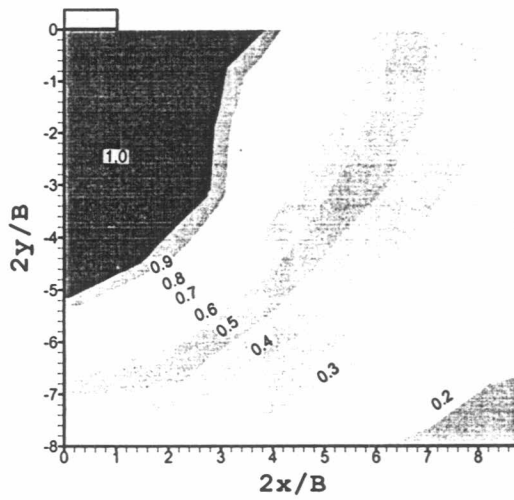
(ค) โครงข่ายของชิ้นส่วนเมื่อ $S/B=0.025$ (ง) โครงข่ายของชิ้นส่วนเมื่อ $S/B=0.075$



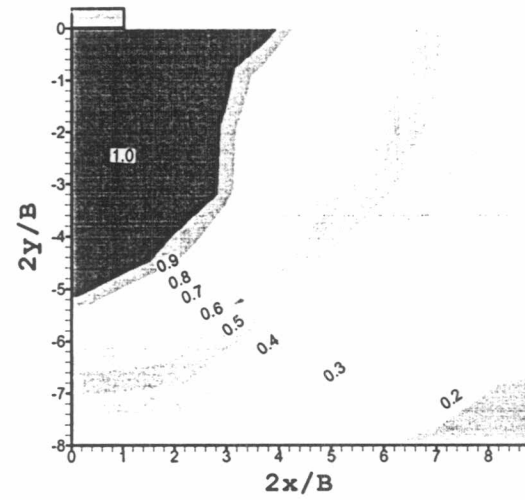
(น) S/B=0.01



(ข) S/B=0.025

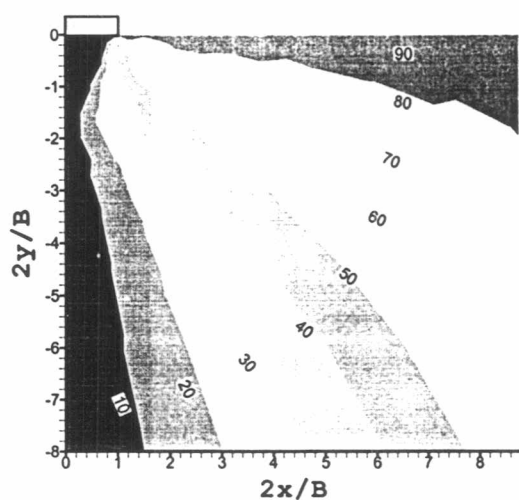
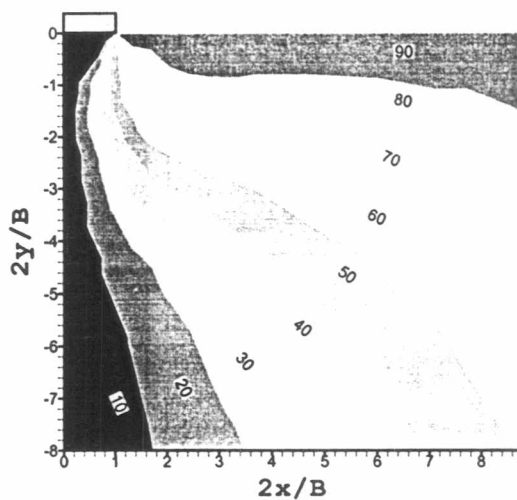
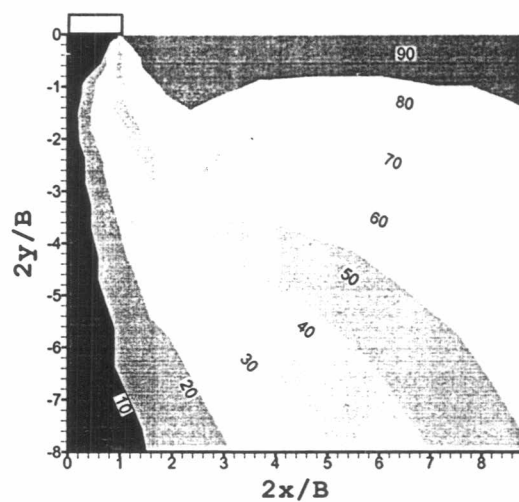
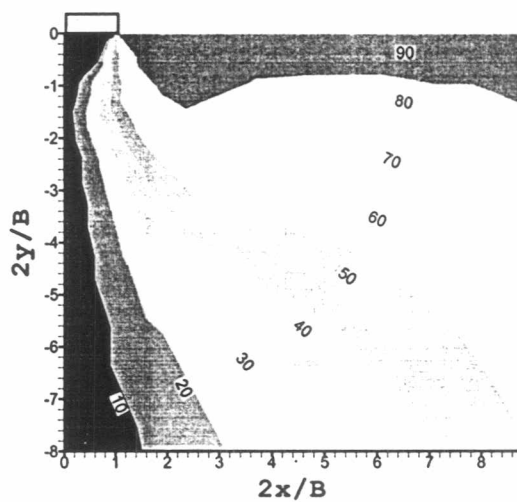


(ค) S/B=0.05

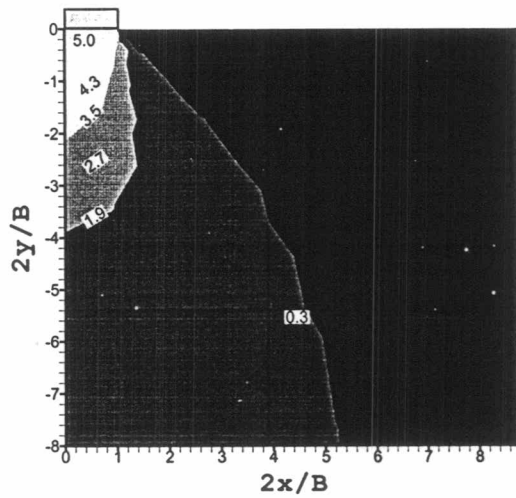
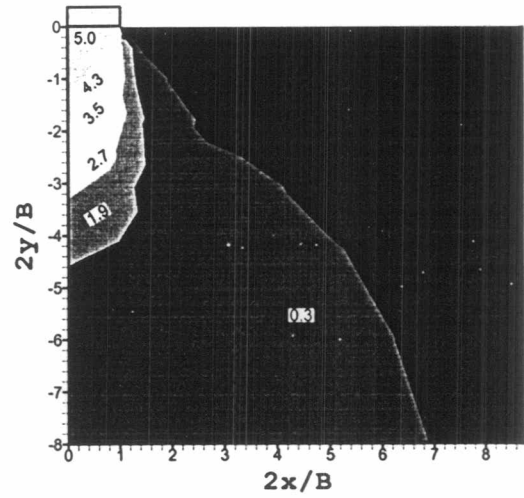
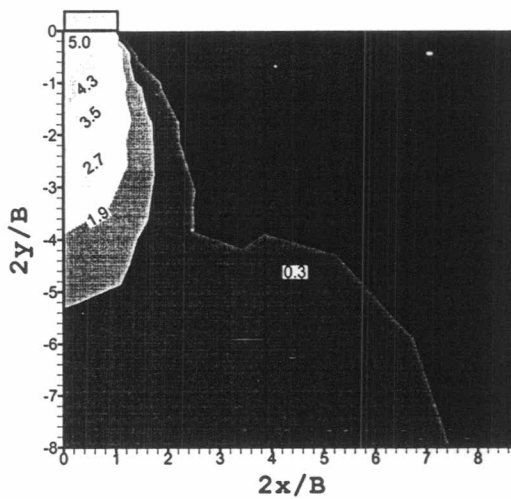
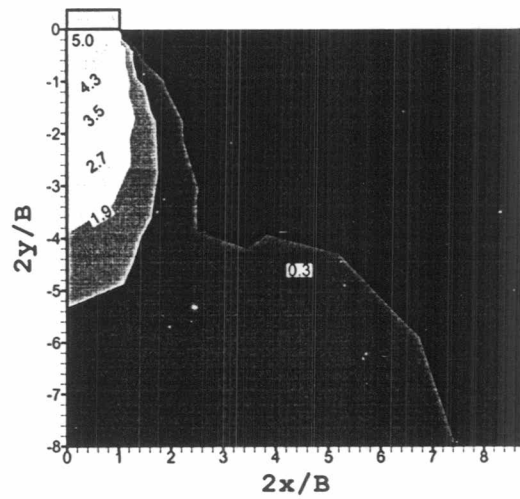


(ง) S/B=0.075

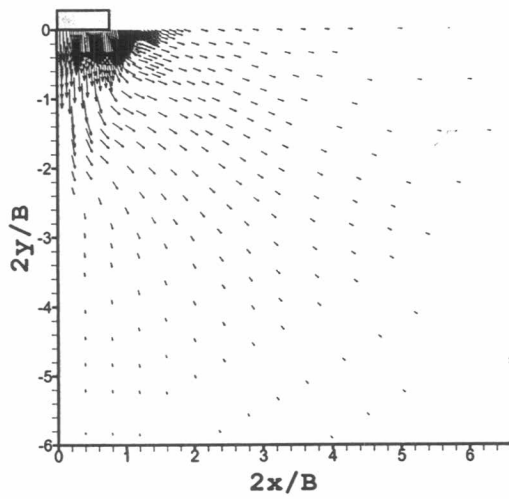
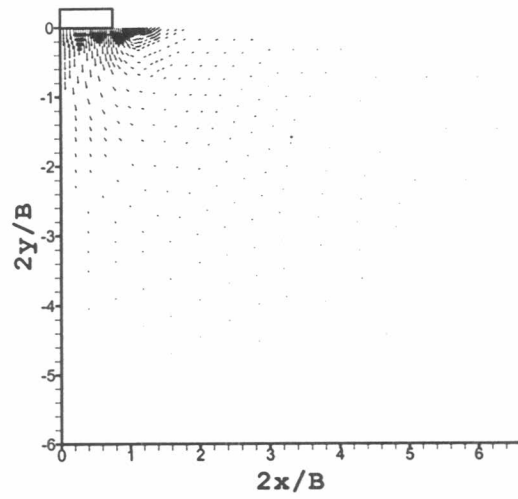
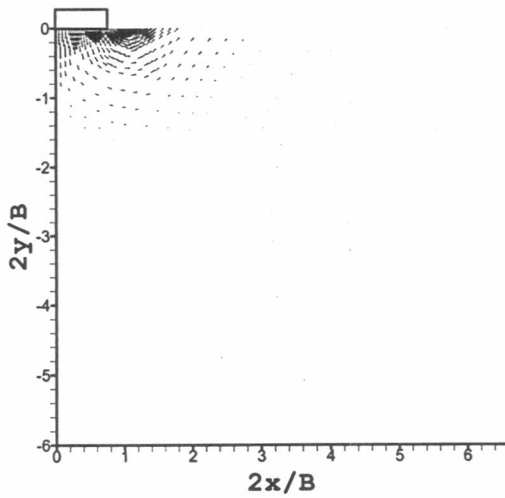
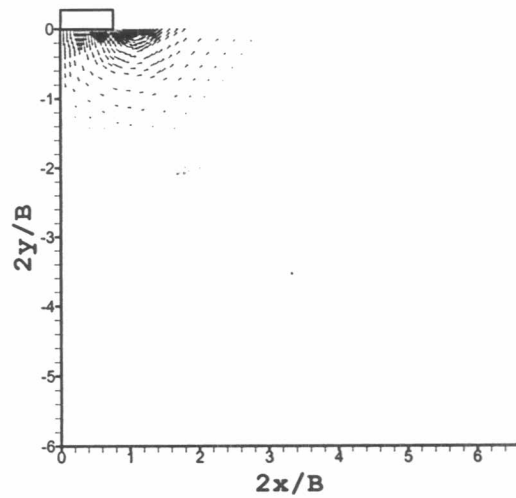
รูปที่ ก.3 Failure zone $(\sigma_1 - \sigma_3) / (2s_u)$ ของฐานรากต่อนื่อง $D/B=0$
วิเคราะห์โดยหลักการของทฤษฎีความเครียดน้อย (SSC)

(น) $S/B=0.01$ (ข) $S/B=0.025$ (ค) $S/B=0.05$ (ง) $S/B=0.075$

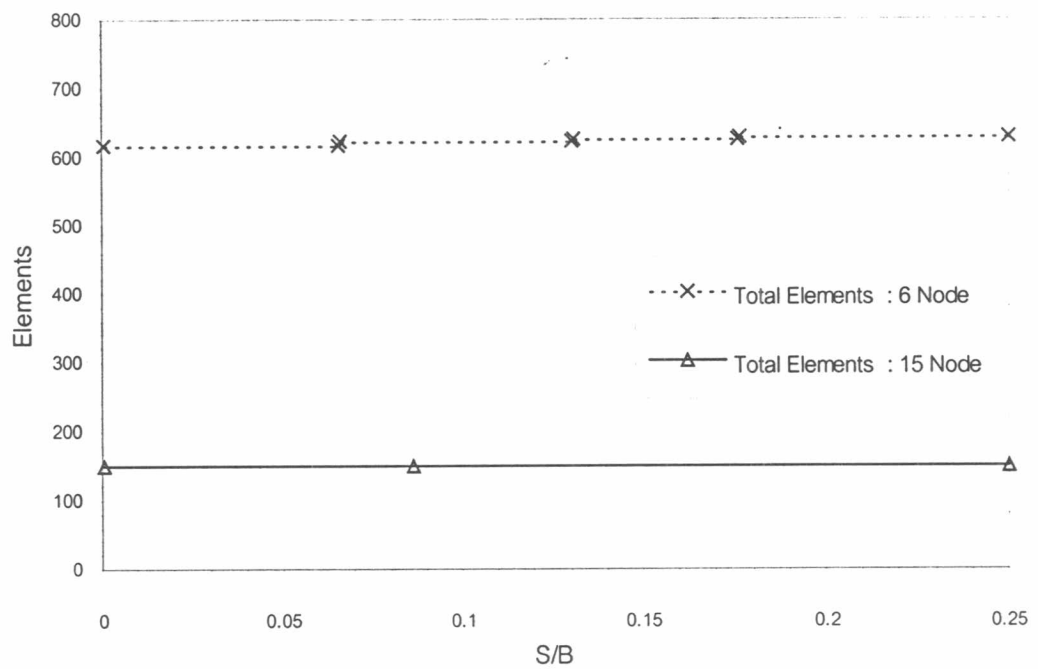
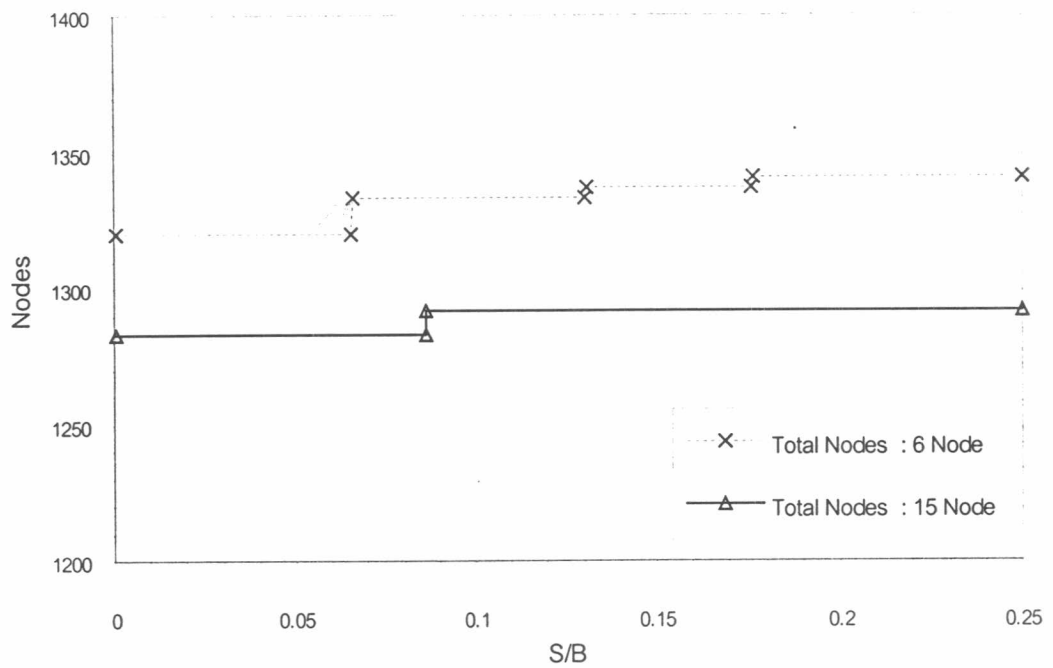
รูปที่ ก.4 ทิศทางของความเค้นหลักเทียบกับแนวแกนตั้ง (δ , องศา)
ของฐานรากต่อเนื่อง $D/B=0$ วิเคราะห์โดยหลักการของทฤษฎีความเครียดน้อย (SSC)

(น) $S/B=0.01$ (ข) $S/B=0.025$ (ค) $S/B=0.05$ (ง) $S/B=0.075$

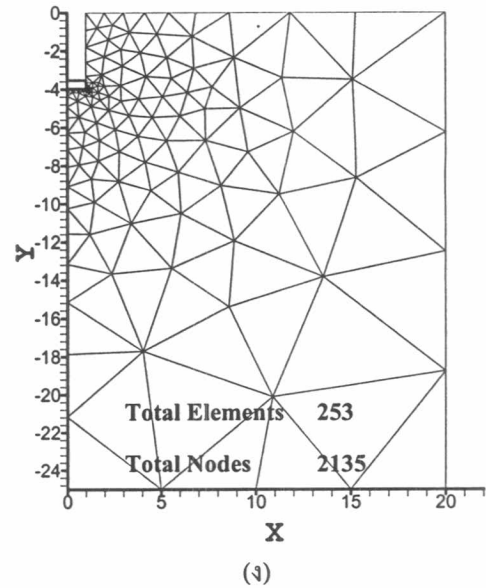
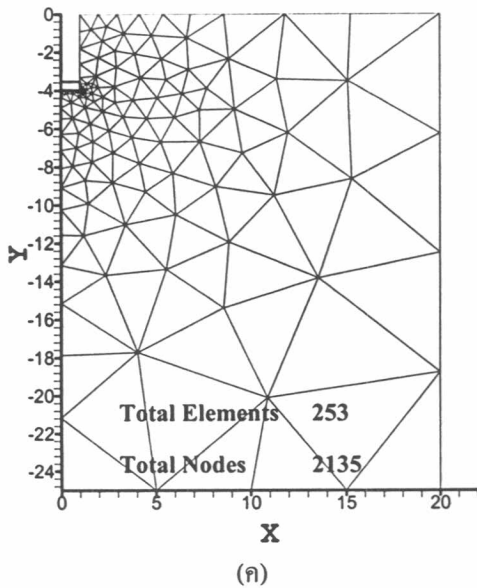
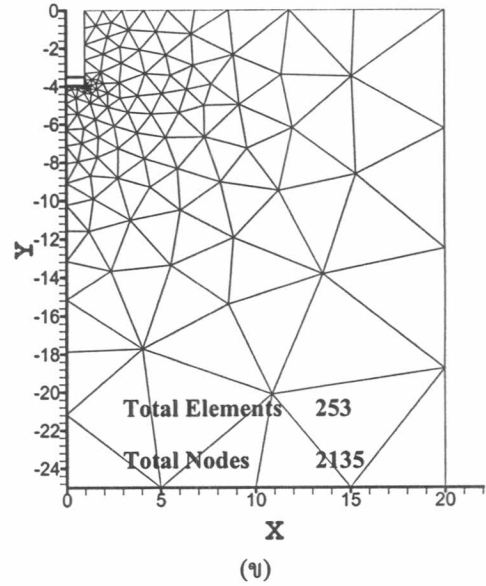
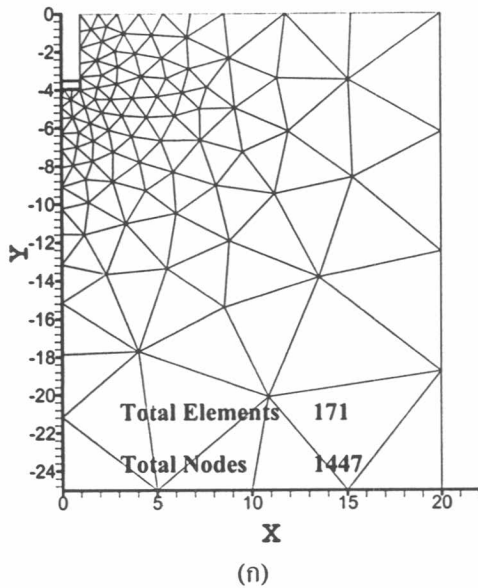
รูปที่ ก.5 กราฟ Contour ของความเค้นแนวแกนตั้ง (σ_v/s_u)
ของฐานรากต่อเนื่อง $D/B=0$ วิเคราะห์โดยหลักการของทฤษฎีความเครียดน้อย (SSC)

(น) $S/B=0.01$ (ข) $S/B=0.025$ (ค) $S/B=0.05$ (ง) $S/B=0.075$

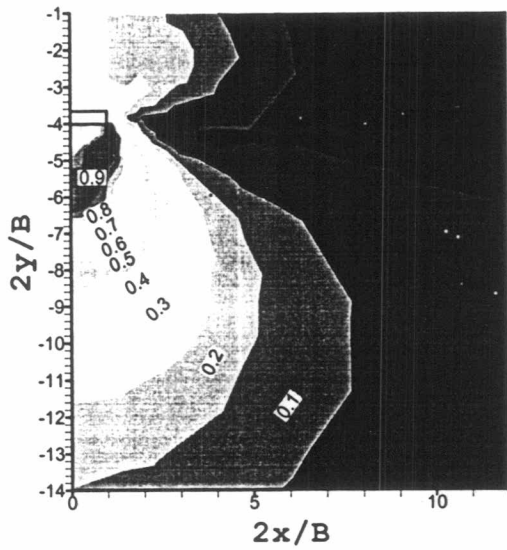
รูปที่ ก.6 ค่าเวกเตอร์การเคลื่อนตัวของฐานรากต่อเนื่อง $D/B=0$
วิเคราะห์โดยหลักการของทฤษฎีความเครียดน้อย (SSC)



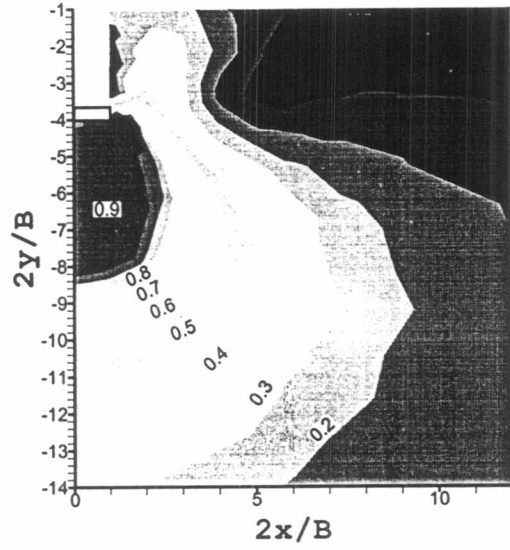
รูปที่ ก.7 เปรียบเทียบจำนวนจุดต่อ และชิ้นส่วนของฐานรากต่อเนื่อง ที่ $D/B=2$ กรณี Small Strain ระหว่างชิ้นส่วนสามเหลี่ยม 6 และ 15 จุดต่อ



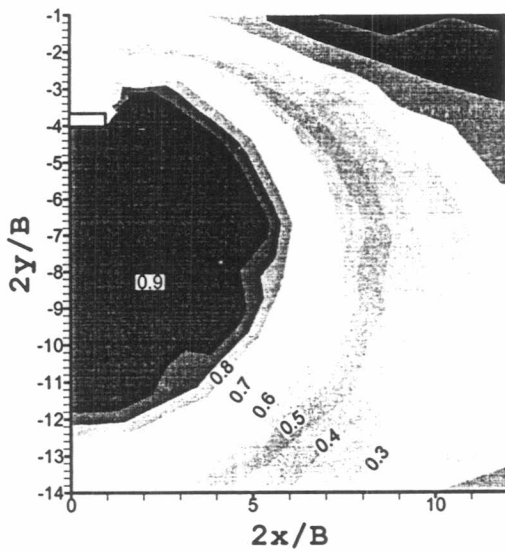
รูปที่ ก.8 การเปรียบเทียบโครงข่ายของชิ้นส่วนของฐานรากต่อเนื่อง $D/B = 2$ กรณี Small Strain (SSC)
 (ก) โครงข่ายของชิ้นส่วนควบคุมโดยสมการความหนาแน่น (ข) โครงข่ายของชิ้นส่วนเริ่มต้น
 (ค) โครงข่ายของชิ้นส่วนเมื่อ $S/B=0.025$ (ง) โครงข่ายของชิ้นส่วนเมื่อ $S/B=0.25$



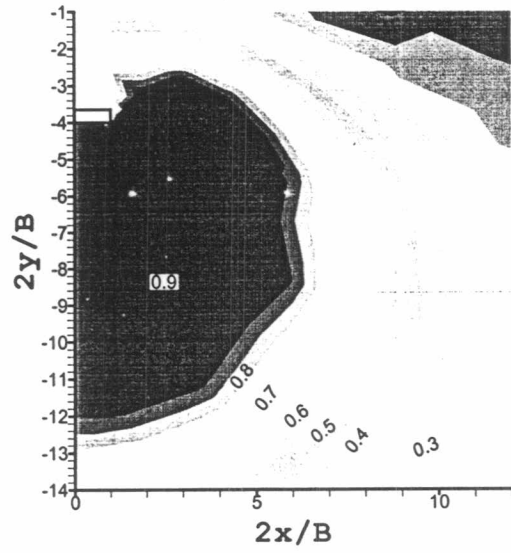
(น) S/B=0.01



(ข) S/B=0.025

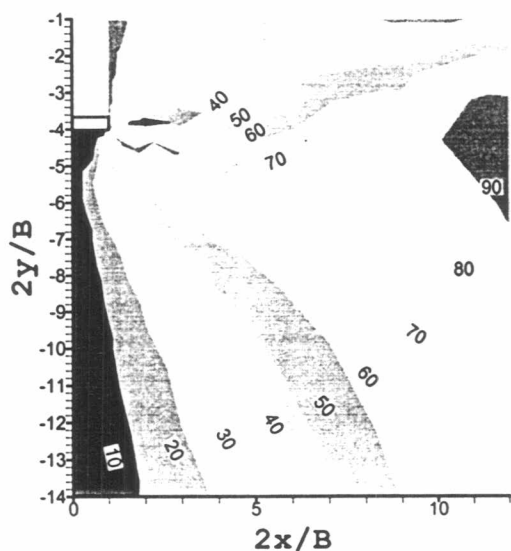


(ค) S/B=0.1

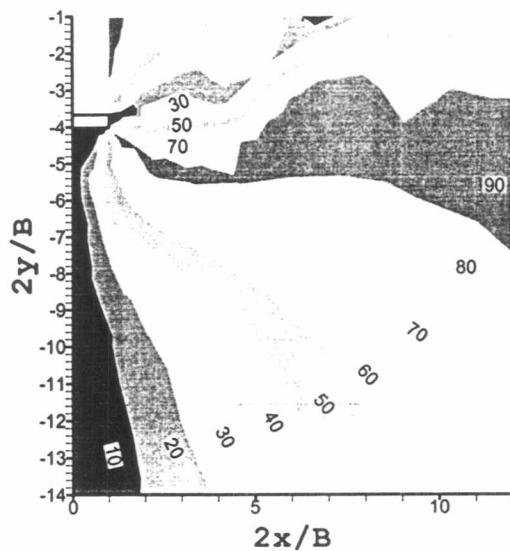


(ง) S/B=0.25

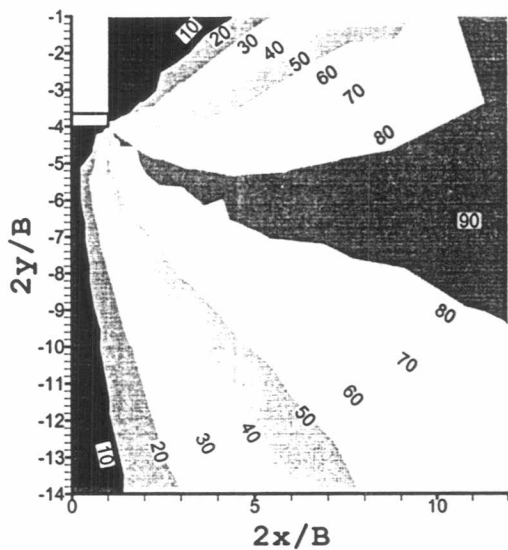
รูปที่ ๓.๙ Failure zone $(\sigma_1 - \sigma_3) / (2s_u)$ ของฐานรากต่อเนื้อ $D/B=2$
วิเคราะห์โดยหลักการของทฤษฎีความเครียดน้อย (SSC)



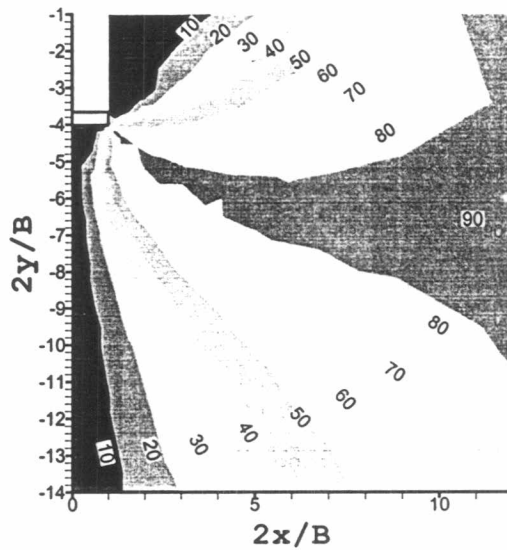
(น) S/B=0.01



(ข) S/B=0.025

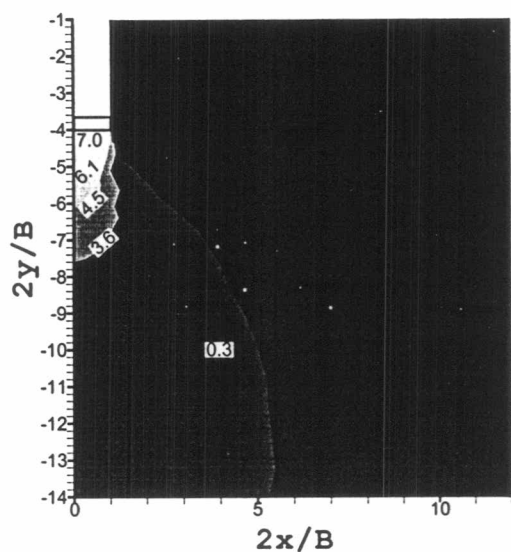
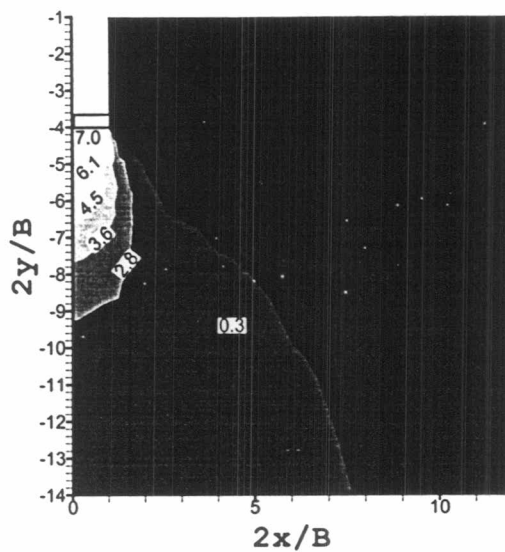
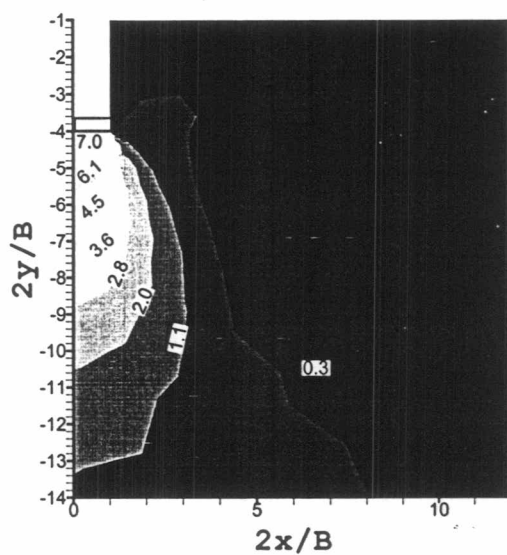
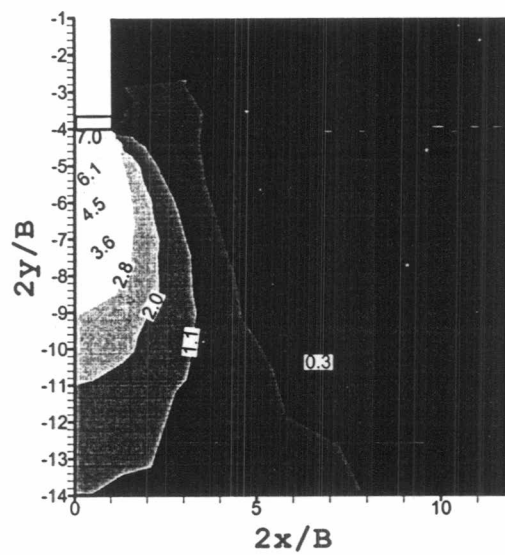


(ค) S/B=0.1

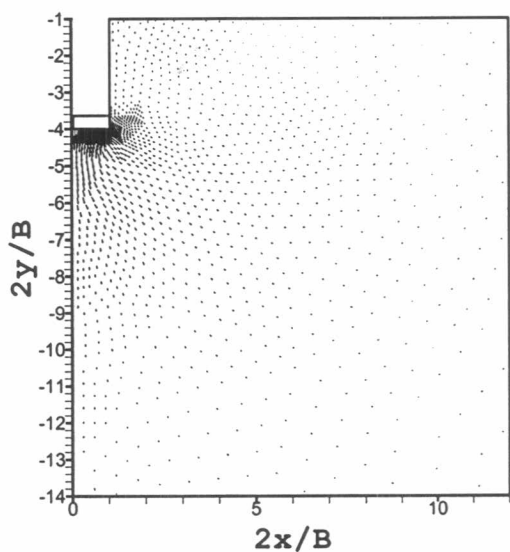
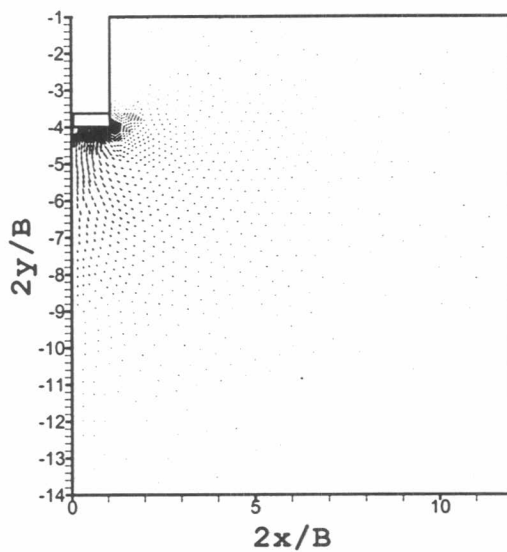
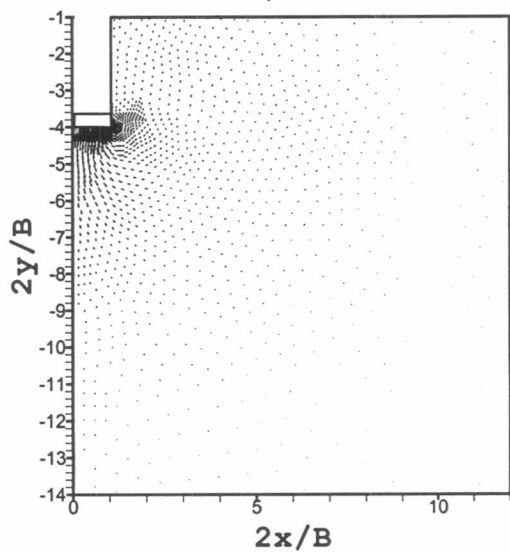
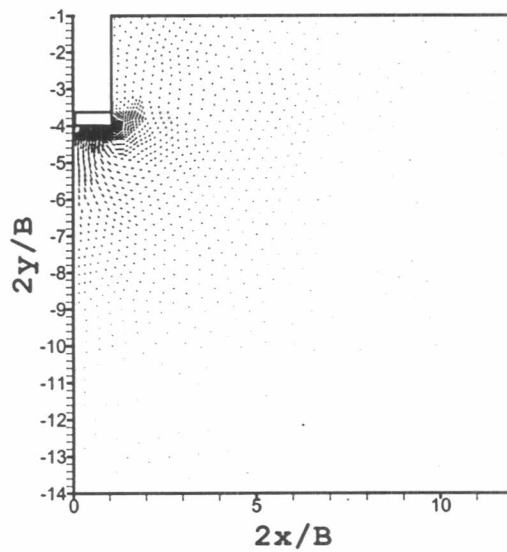


(ง) S/B=0.25

รูปที่ ก.10 ทิศทางของความเค้นหลักเทียบกับแนวแกนตั้ง (δ , องศา)
ของฐานรากต่อเนื่อง $D/B=2$ วิเคราะห์โดยหลักการของทฤษฎีความเครียดน้อย (SSC)

(น) $S/B=0.01$ (ฉ) $S/B=0.025$ (ค) $S/B=0.1$ (ง) $S/B=0.25$

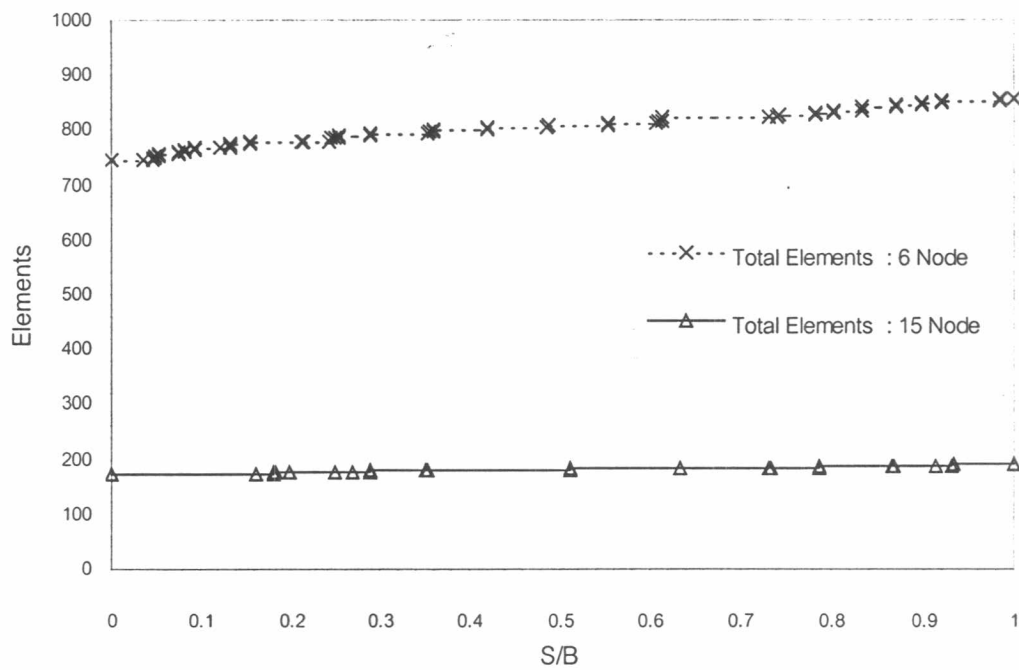
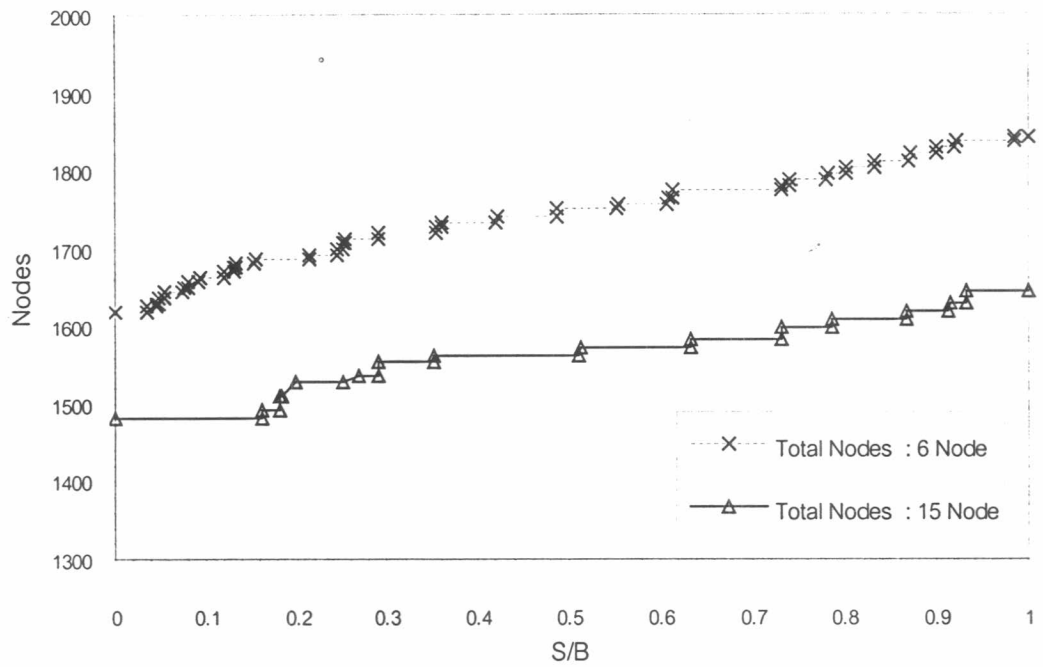
รูปที่ ก.11 กราฟ Contour ของความเค้นแนวแกนตั้ง (σ_v/s_v)
ของฐานรากต่อเนื่อง $D/B=2$ วิเคราะห์โดยหลักการของทฤษฎีความเครียดน้อย (SSC)

(n) $S/B=0.01$ (ข) $S/B=0.025$ (ค) $S/B=0.1$ (ง) $S/B=0.25$

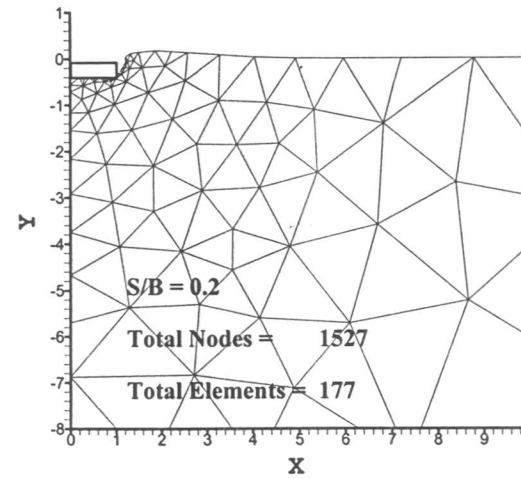
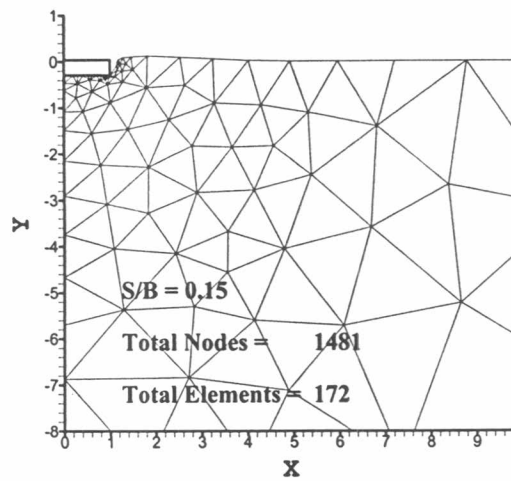
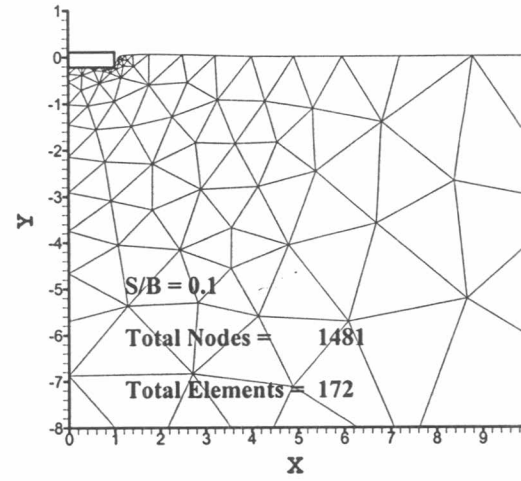
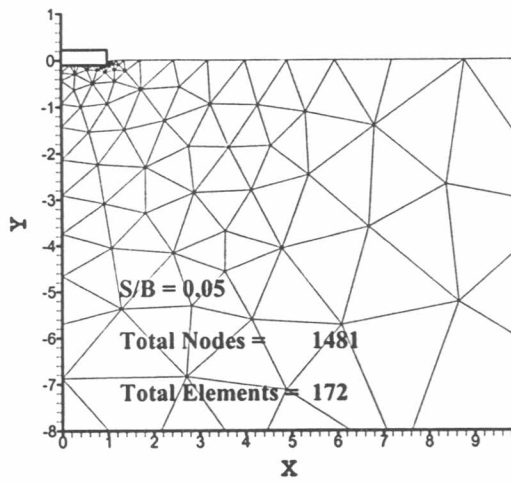
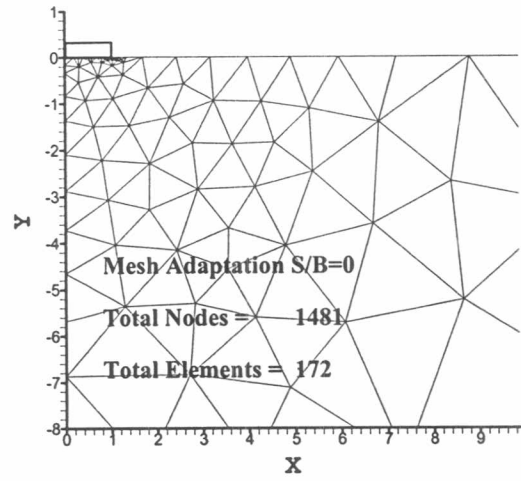
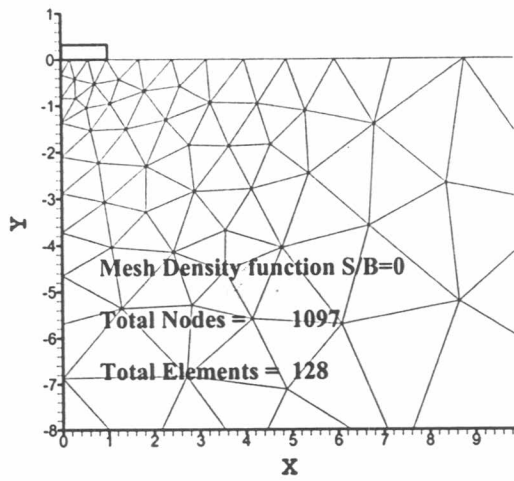
รูปที่ ก.12 ค่าเวกเตอร์การเคลื่อนตัวของฐานรากต่อเนื่อง $D/B=2$
วิเคราะห์โดยหลักการของทฤษฎีความเครียดน้อย (SSC)

ภาคผนวก

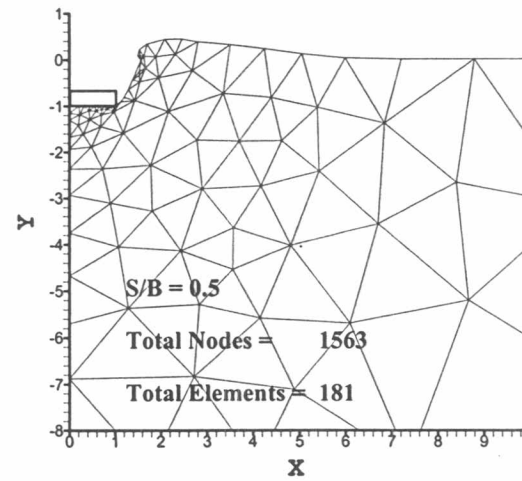
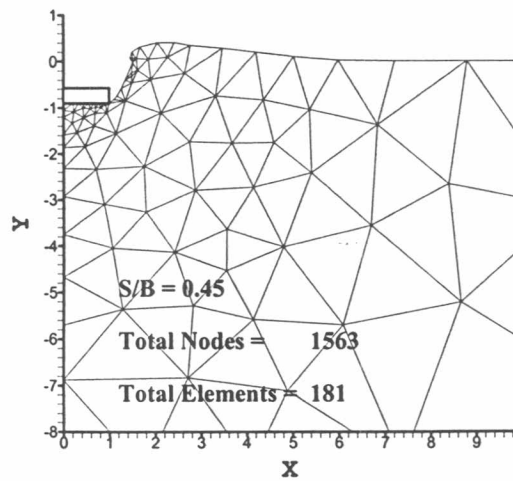
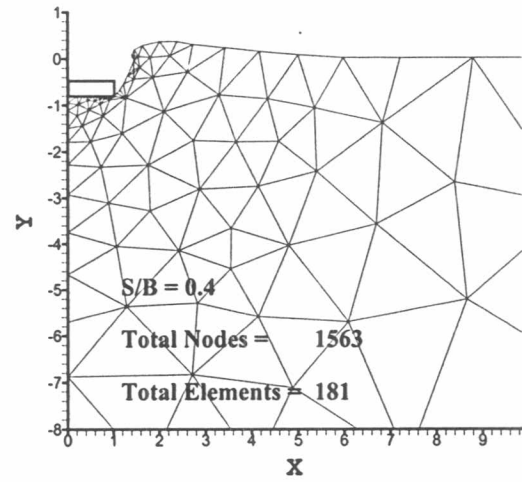
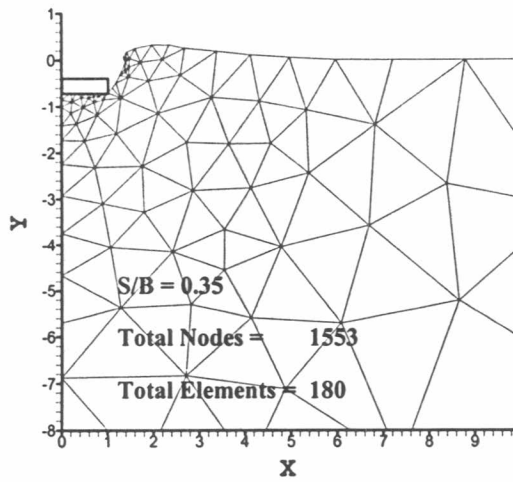
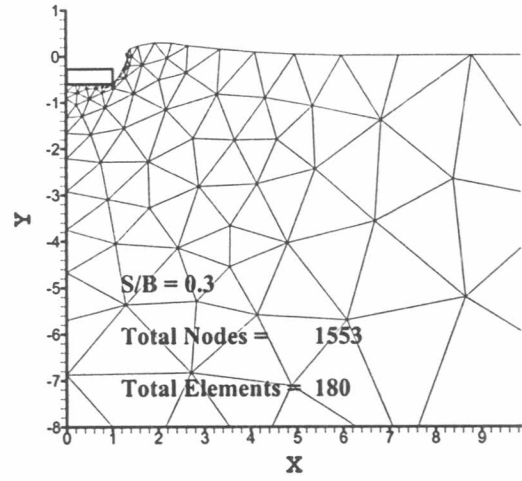
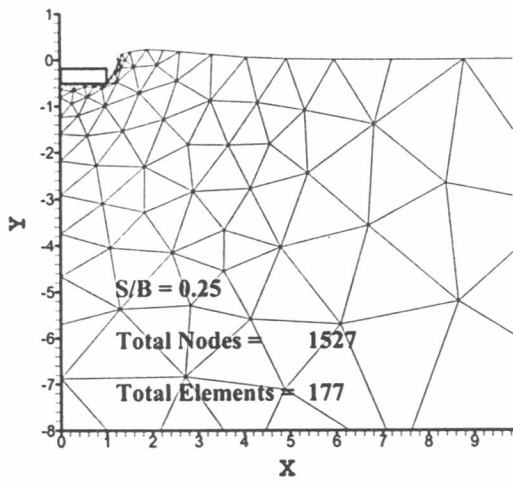
ภาคผนวก ข



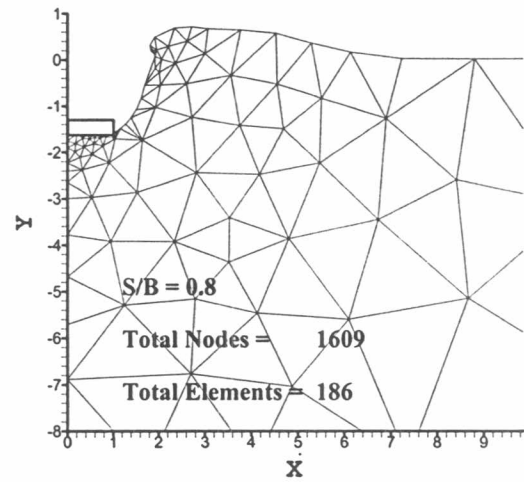
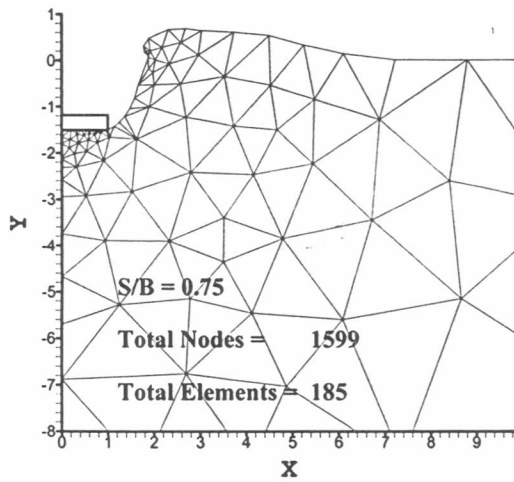
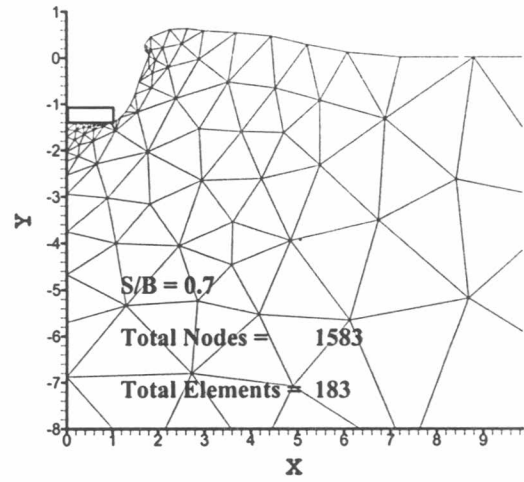
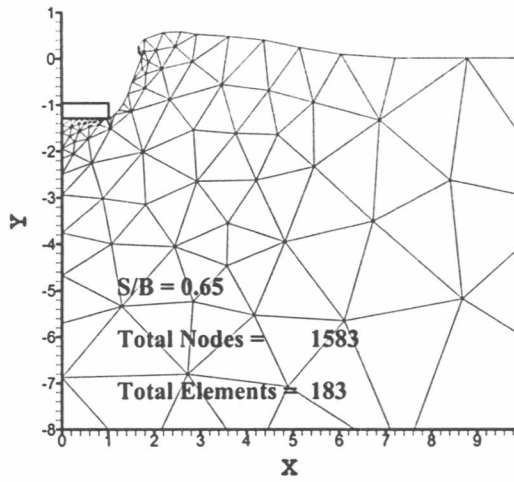
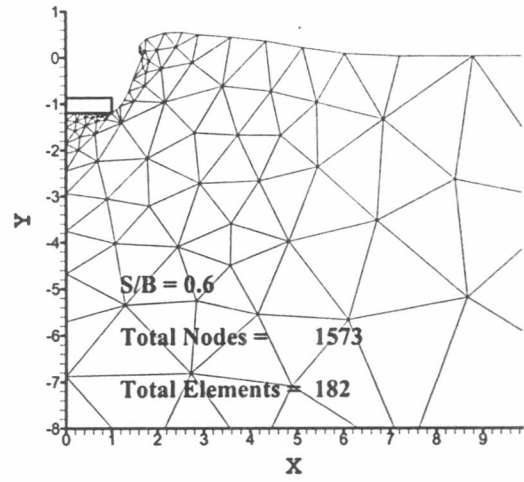
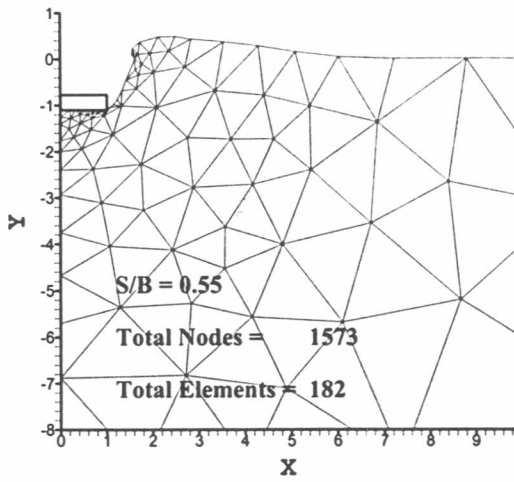
รูปที่ ข.1 เปรียบเทียบจำนวนจุดต่อ และชิ้นส่วนของฐานรากต่อเนื่อง ที่ $D/B=0$ กรณี Large Strain ระหว่างชิ้นส่วนสามเหลี่ยม 6 และ 15 จุดต่อ



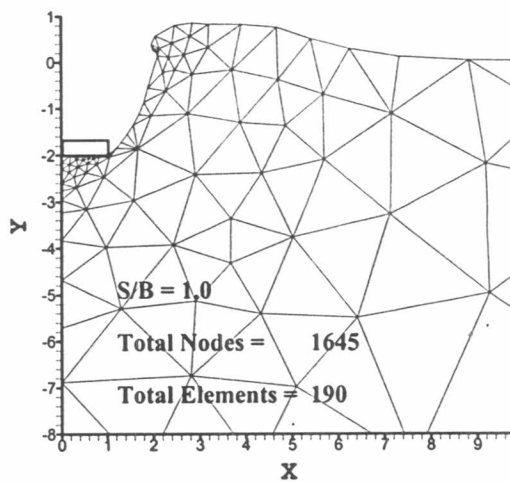
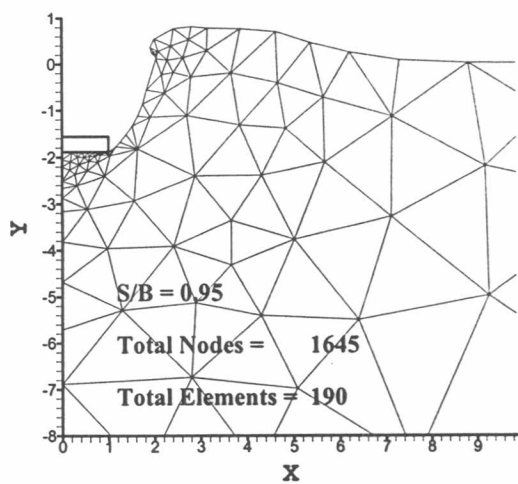
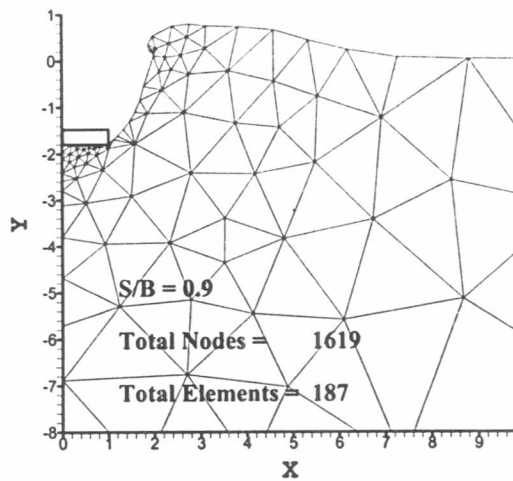
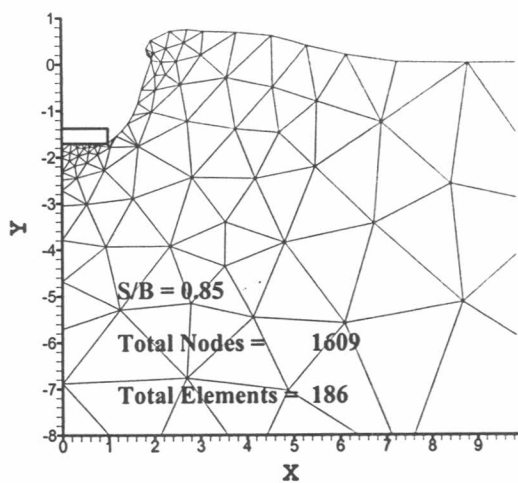
รูปที่ ข.2 โครงข่ายของชิ้นส่วนฐานรองรับต่อเนื่องวางบนผิวดิน
 จากการวิเคราะห์ปัญหาการเคลื่อนตัวมากของมวลดิน (LSC)



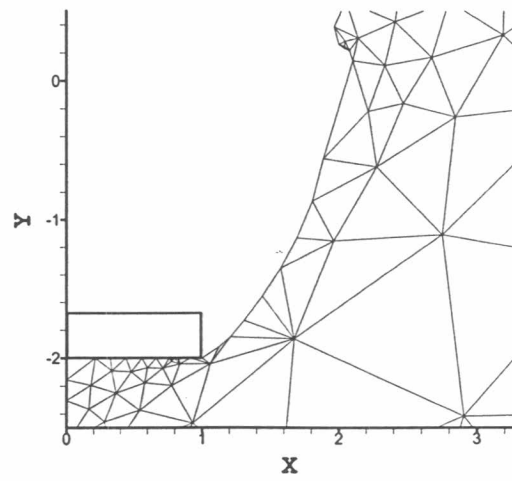
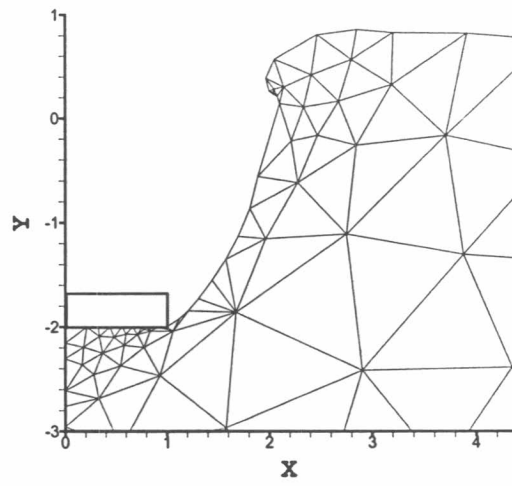
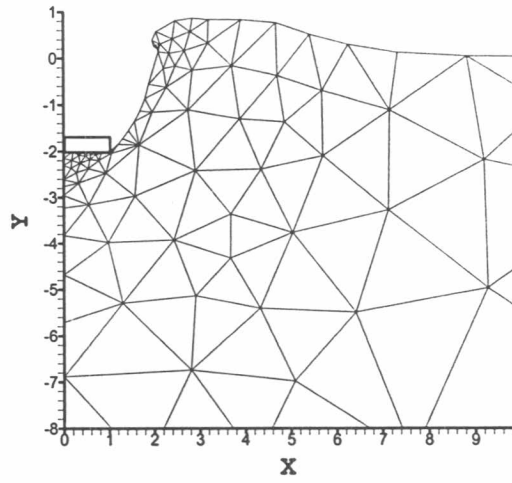
รูปที่ ข.2(ต่อ) โครงข่ายของชิ้นส่วนฐานรองรับต่อเนื่องวางบนผิวดิน
 จากการวิเคราะห์ปัญหาการเคลื่อนตัวมากของมวลดิน (LSC)



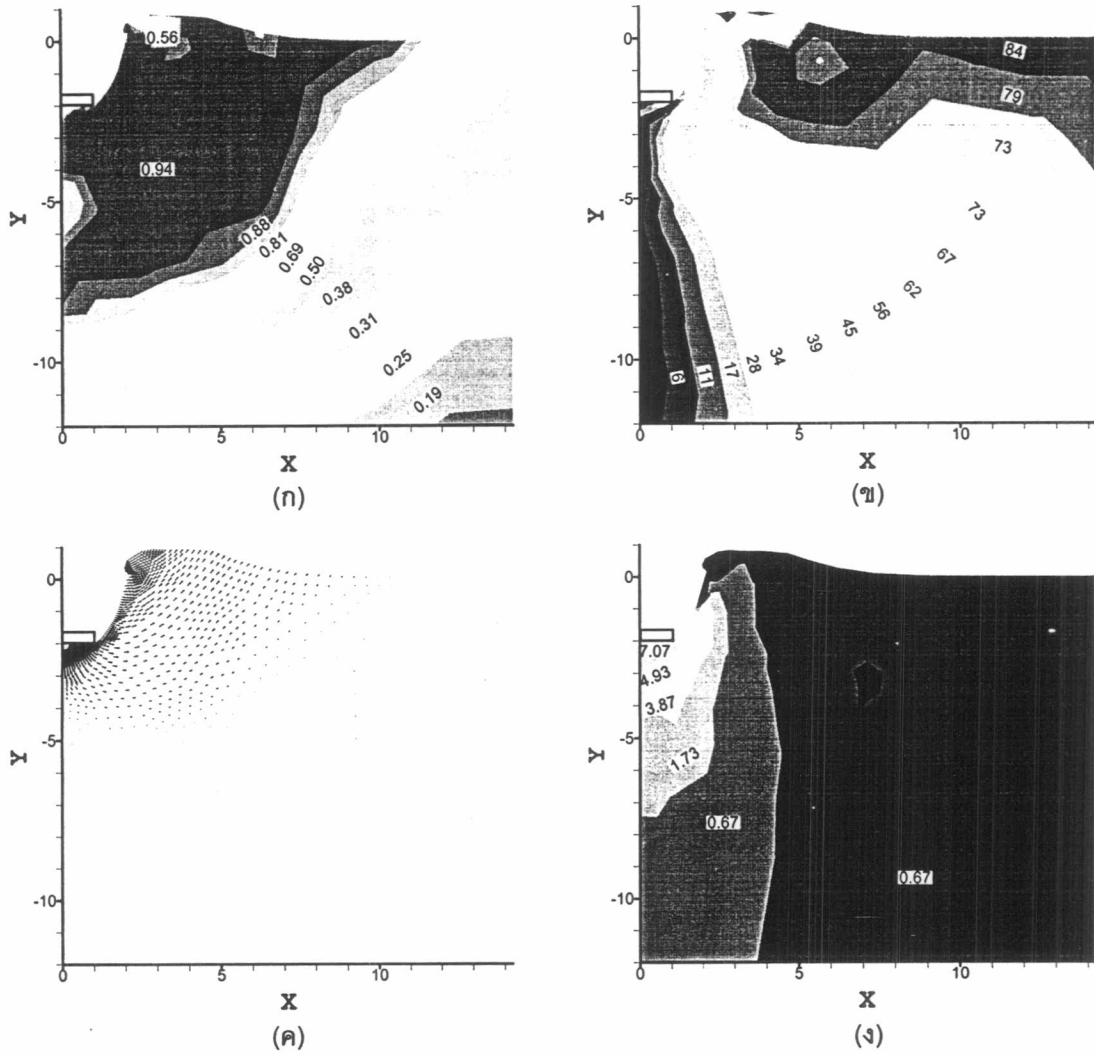
รูปที่ ข.2(ต่อ) โครงข่ายของชิ้นส่วนฐานรองรับต่อเนื้องวางบนผิวดิน
จากการวิเคราะห์ปัญหาการเคลื่อนตัวมากของมวลดิน (LSC)



รูปที่ ข.2(ต่อ) โครงข่ายของชิ้นส่วนฐานรองรับต่อเนื่องวางบนผิวดิน
 จากการวิเคราะห์ปัญหาการเคลื่อนตัวมากของมวลดิน (LSC)



รูปที่ ข.3 โครงข่ายชิ้นส่วนของฐานรากต่อเนื่องวางบนผิวดิน กรณี LSC ที่ $S/B=1.0$



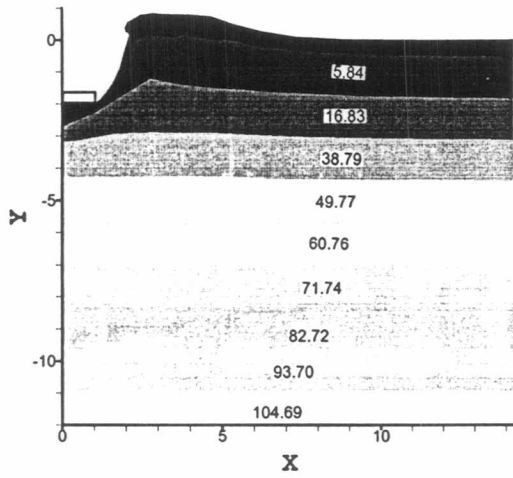
รูปที่ ๑.๔ ผลการวิเคราะห์ไฟไนต์เอลิเมนต์ของฐานรากต่อเนื้อวางบนผิวดิน กรณี LSC

(ก) Failure zone $(\sigma_1 - \sigma_3) / (2s_u)$

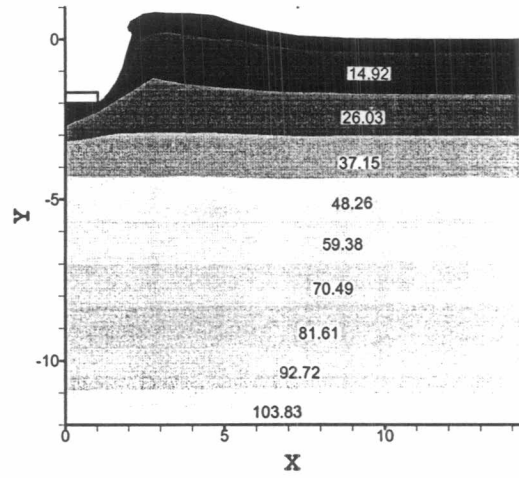
(ข) ทิศทางของความเค้นหลักเทียบกับแนวแกนตั้ง (δ , องศา)

(ค) ค่าเวกเตอร์การเคลื่อนตัวของฐานราก

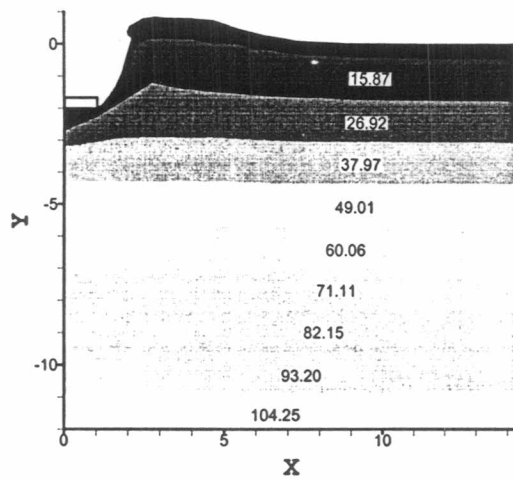
(ง) กราฟ Contour ของความเค้นแนวแกนตั้ง (σ_v / s_u)



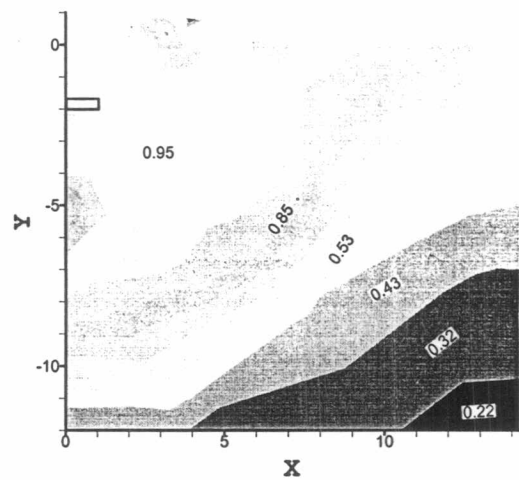
(จ)



(ข)



(ค)



(ค)

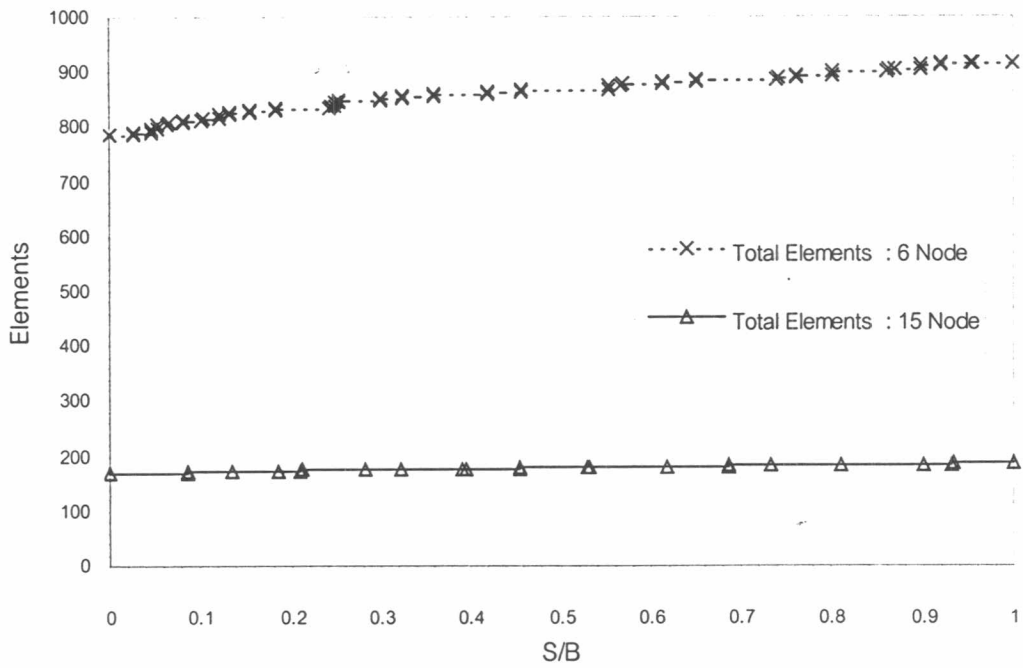
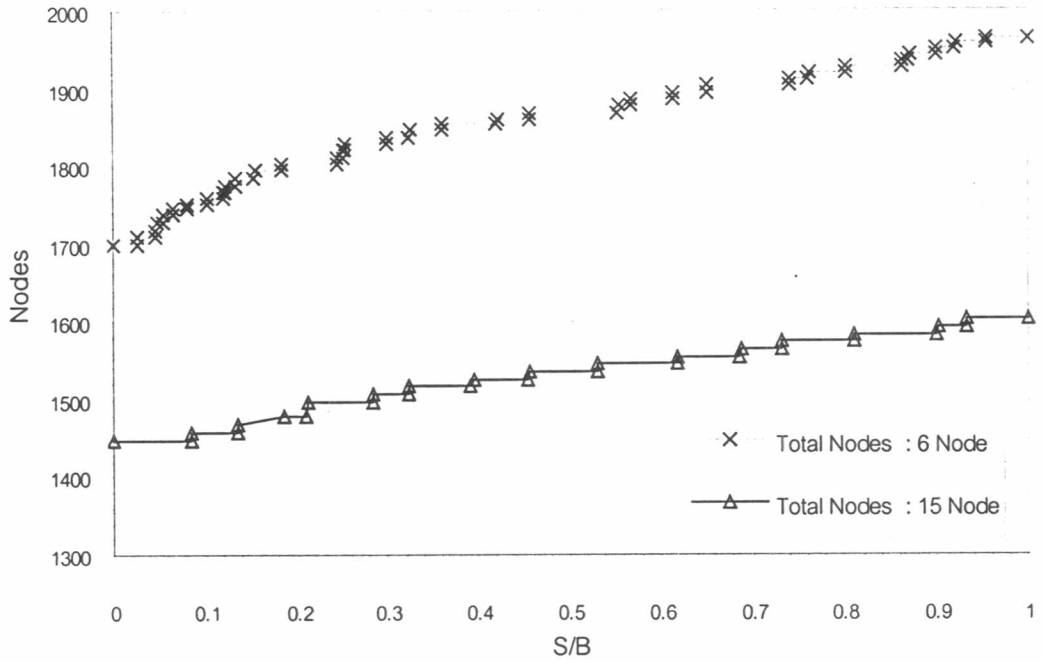
รูปที่ ข.4(ต่อ) ผลการวิเคราะห์ไฟไนต์เอลิเมนต์ของฐานรากต่อเนื่อง วางบนผิวดิน กรณี LSC

(จ) Major Principle Stress (σ_1 / Su)

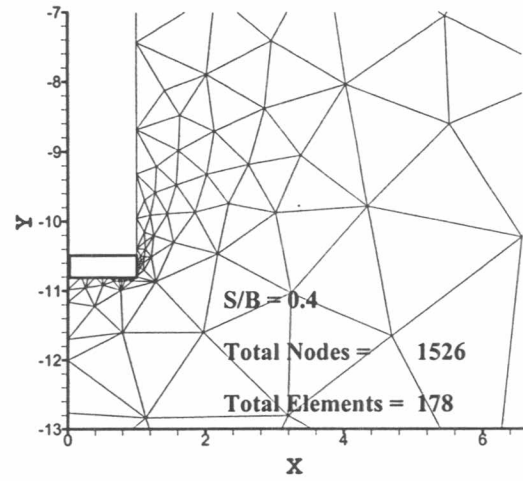
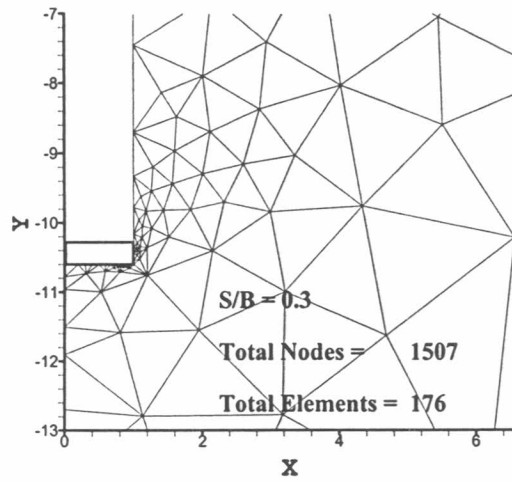
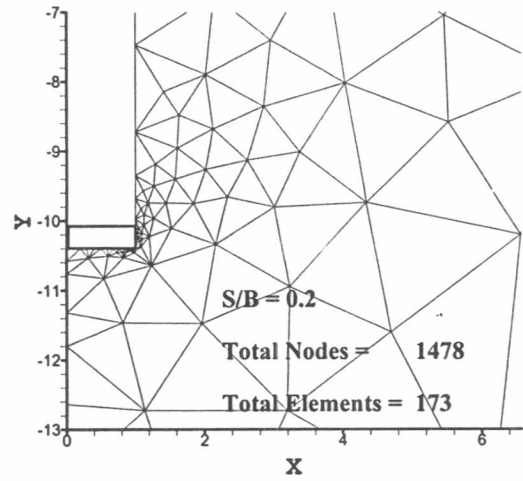
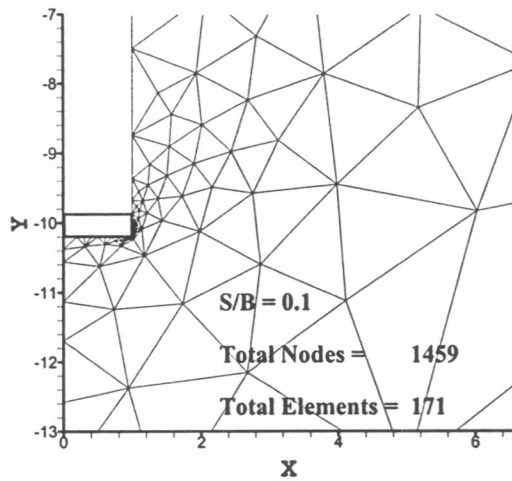
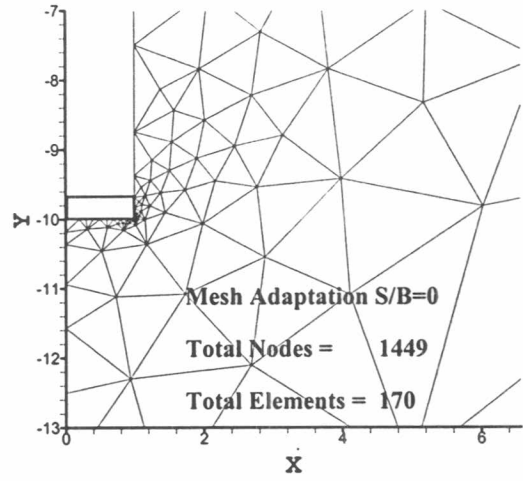
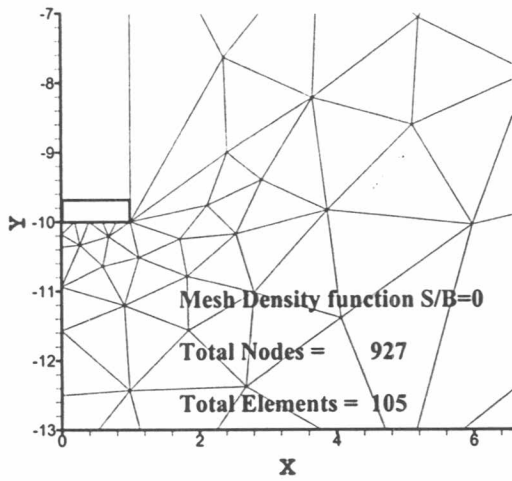
(ข) Minor Principle Stress (σ_3 / Su)

(ค) Maximum Shear Stress (p / Su)

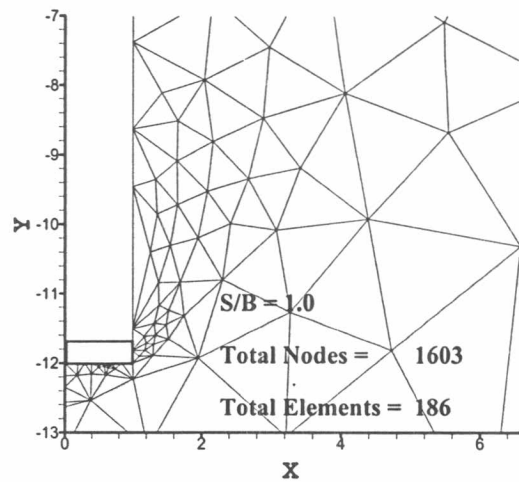
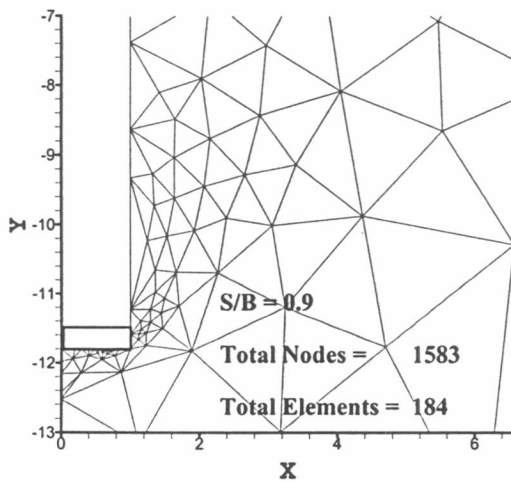
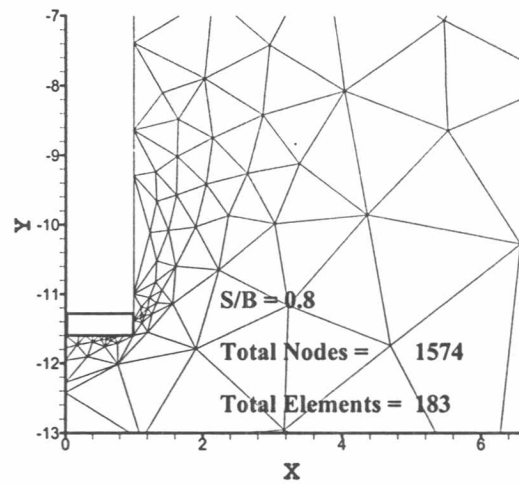
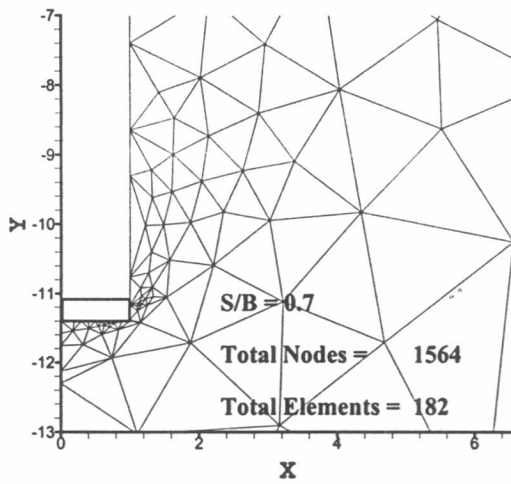
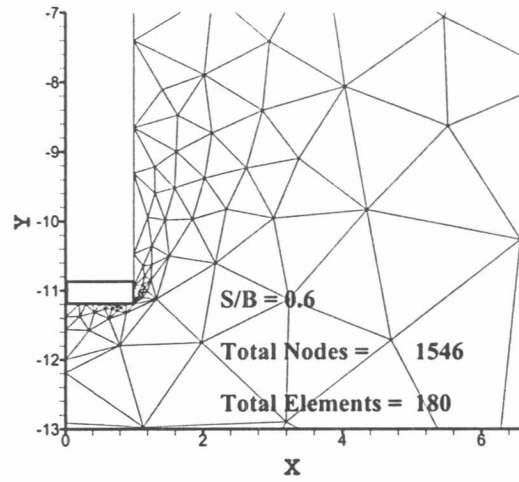
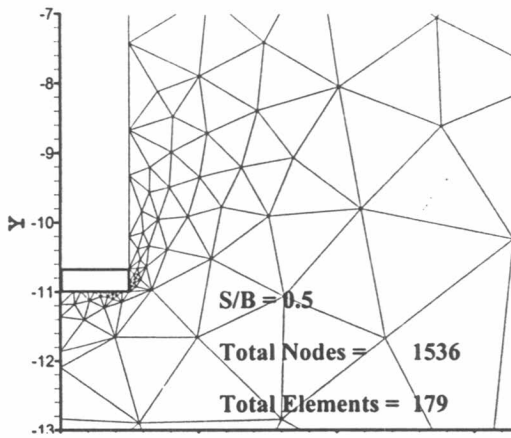
(ค) Normal Stress (q / Su)



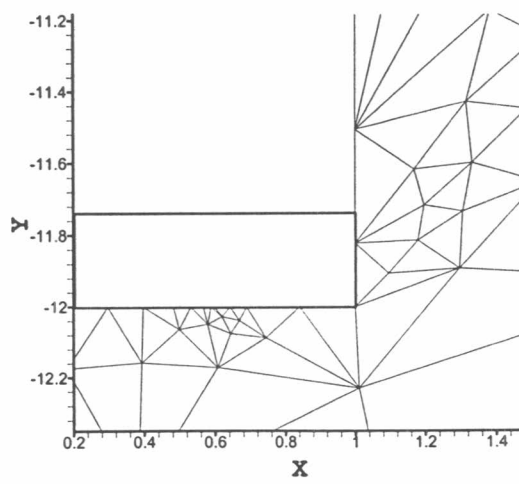
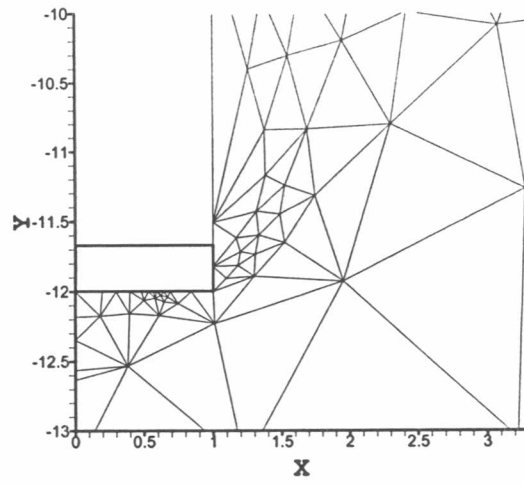
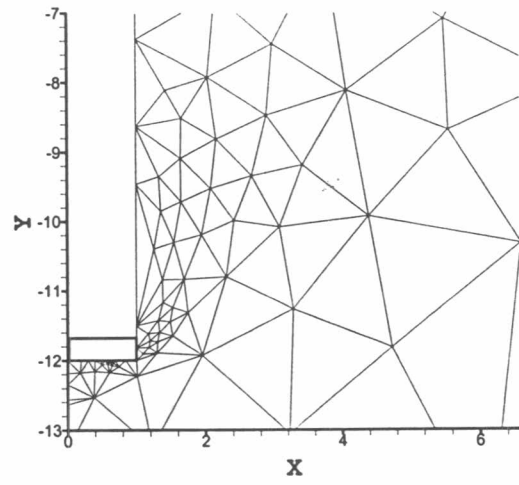
รูปที่ ข.5 เปรียบเทียบจำนวนจุดต่อ และชิ้นส่วนของฐานรากต่อเนื่อง ที่ $D/B=5$ กรณี Large Strain ระหว่างชิ้นส่วนสามเหลี่ยม 6 และ 15 จุดต่อ



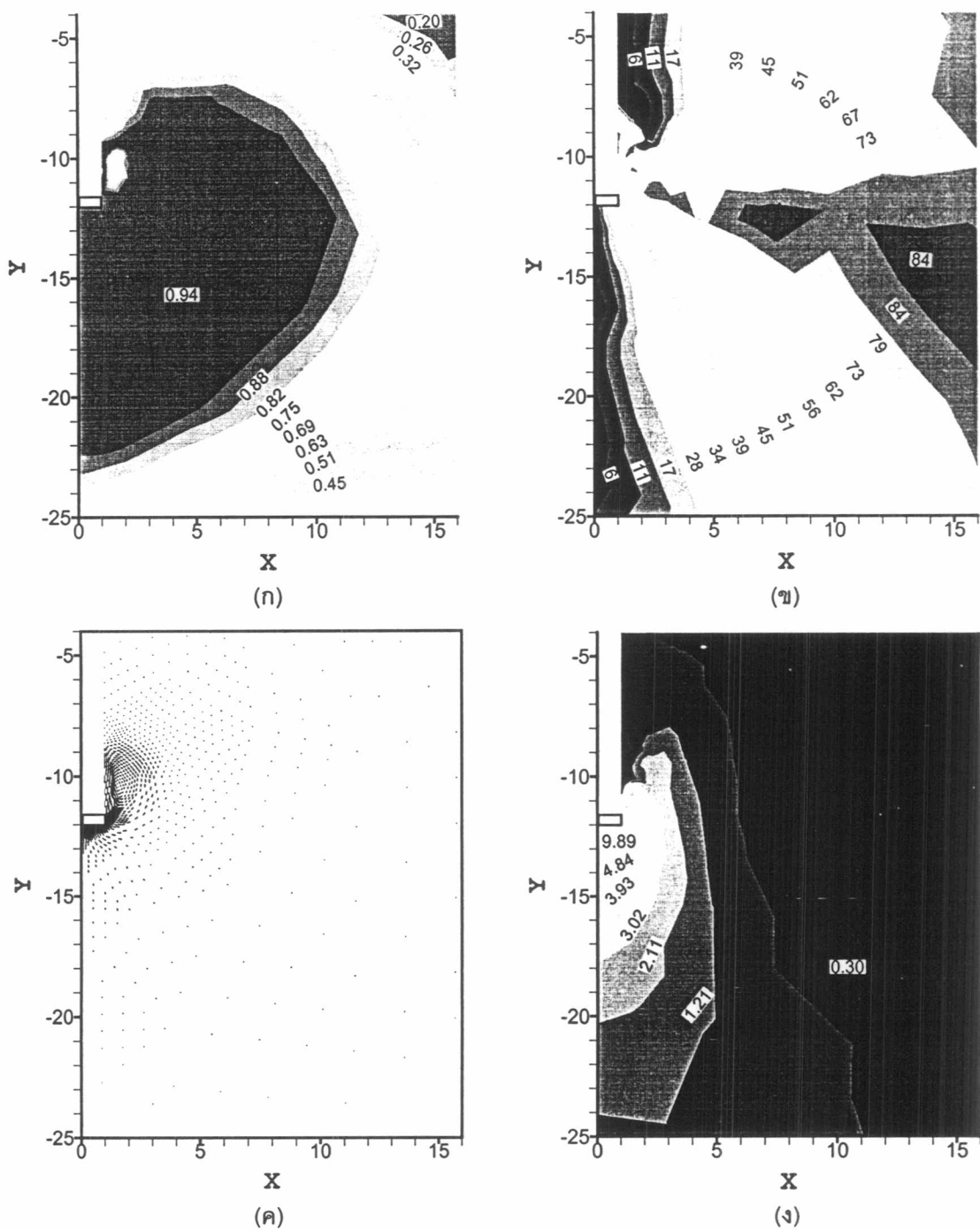
รูปที่ ข.6 โครงข่ายของชิ้นส่วนฐานรองรับต่อเนื่อง $D/B=5$
 จากการวิเคราะห์ปัญหาการเคลื่อนตัวมากของมวลดิน (LSC)



รูปที่ ข.6(ต่อ) โครงข่ายของชิ้นส่วนฐานรองรับต่อเนื่อง $D/B=5$
 จากการวิเคราะห์ปัญหาการเคลื่อนตัวมากของมวลดิน (LSC)



รูปที่ ข.7 โครงข่ายชิ้นส่วนของฐานรากต่อเนื่อง $D/B=5$ กรณี LSC ที่ $S/B=1.0$



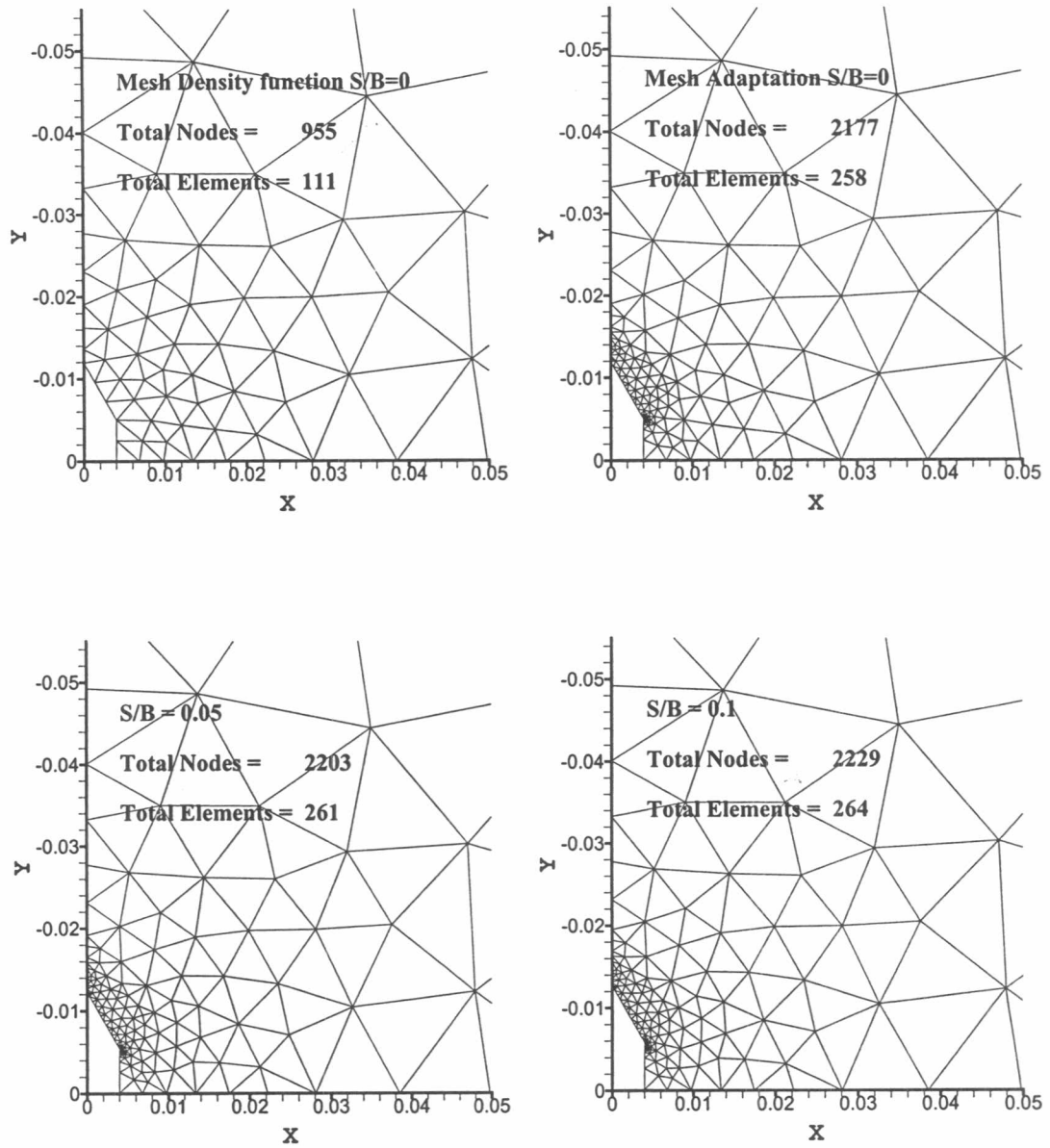
รูปที่ ข.8 ผลการวิเคราะห์ไฟไนต์เอลิเมนต์ของฐานรากต่อเนื่อง $D/B=5$ กรณี LSC

(ก) Failure zone $(\sigma_1 - \sigma_3) / (2s_u)$

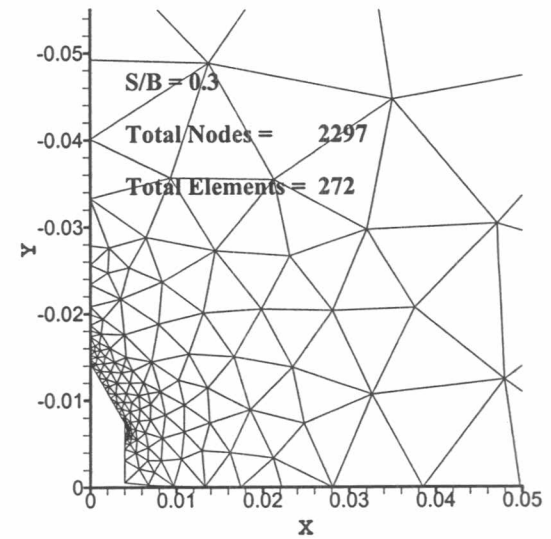
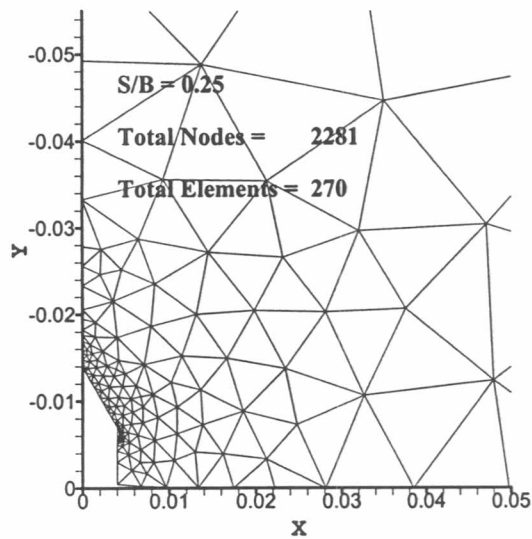
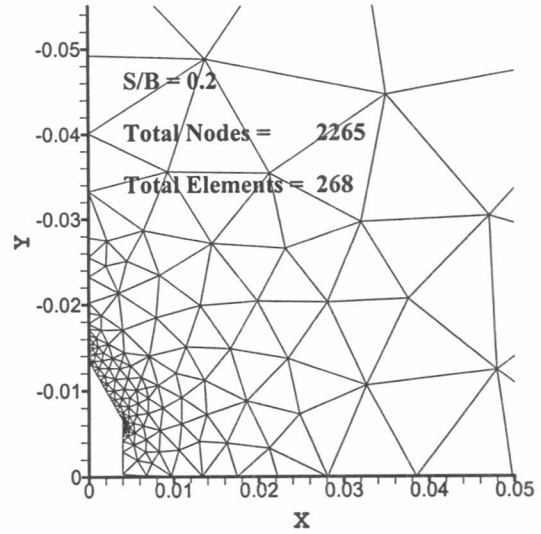
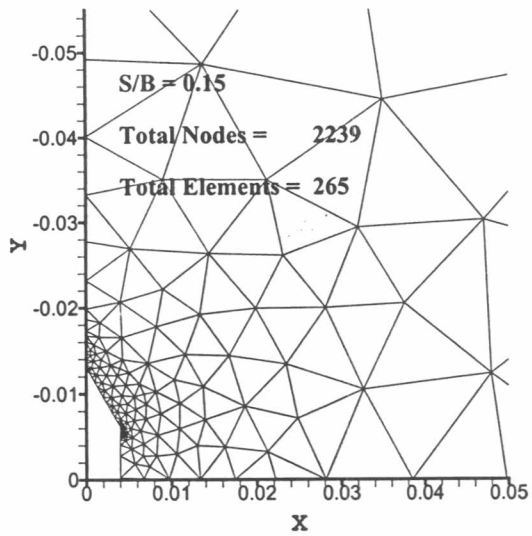
(ข) ทิศทางของความเค้นหลักเทียบกับแนวแกนตั้ง (δ , องศา),

(ค) ค่าเวกเตอร์การเคลื่อนตัวของฐานราก

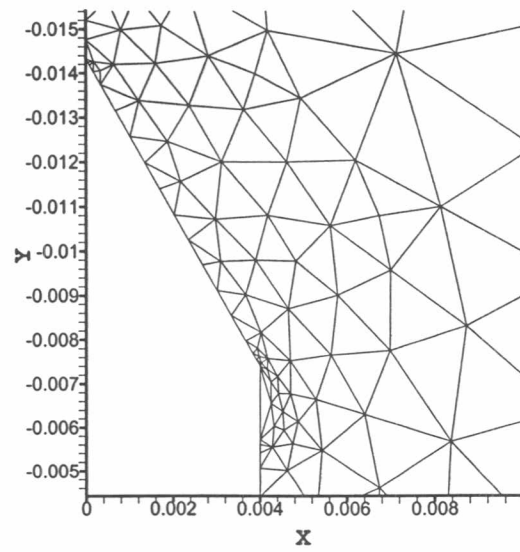
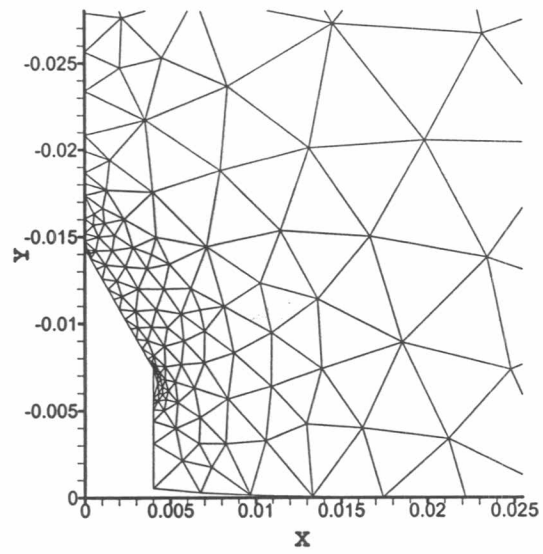
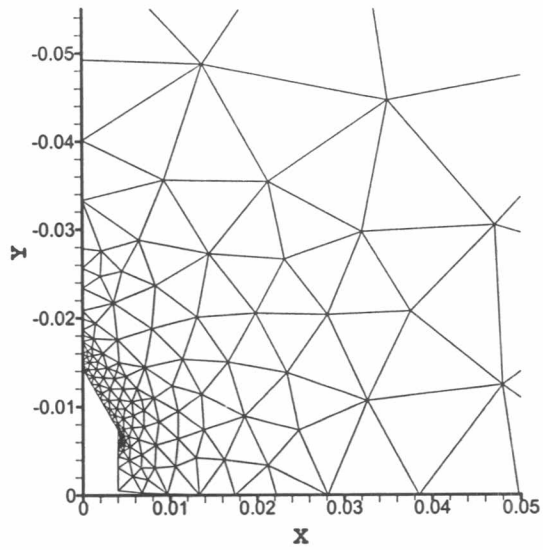
(ง) กราฟ Contour ของความเค้นแนวแกนตั้ง (σ_v/s_u)



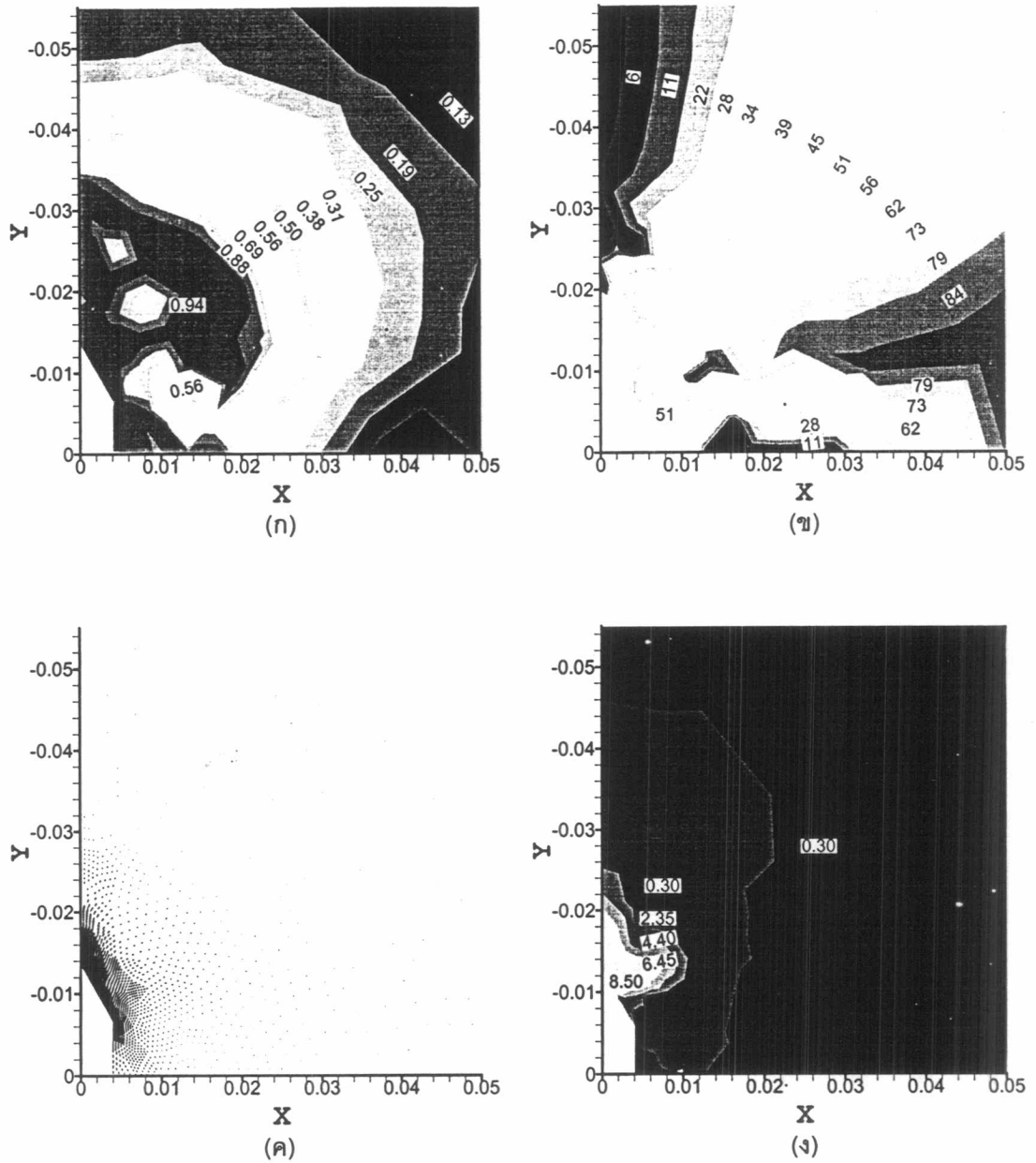
รูปที่ ข.9 โครงข่ายชิ้นส่วนของการทดสอบกวดแท่งกรวยทรงกระบอกปลายแหลม
จากการวิเคราะห์ปัญหาการเคลื่อนตัวมากของมวลดิน (LSC)



รูปที่ ข.9(ต่อ) โครงข่ายชิ้นส่วนของกรทดสอบกตแห่งกรวยทรงกระบอกปลายแหลม
จากการวิเคราะห์ปัญหาการเคลื่อนตัวมากของมวลดิน (LSC)



รูปที่ ข.10 โครงข่ายชิ้นส่วนของการทดสอบกวดแท่งกรวยทรงกระบอกปลายแหลม
กรณี LSC ที่ $S/B = 0.3$



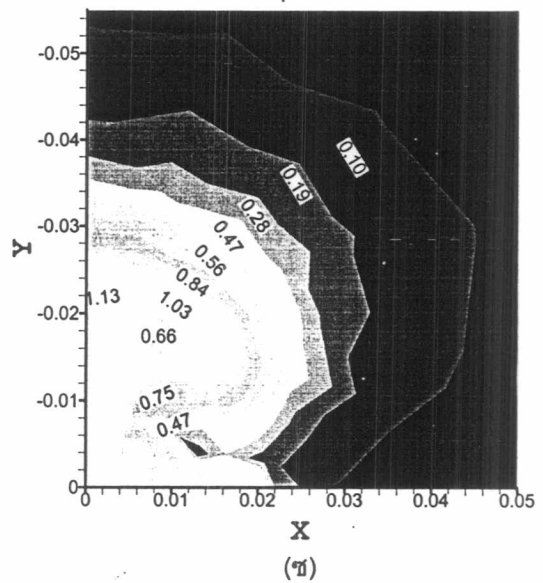
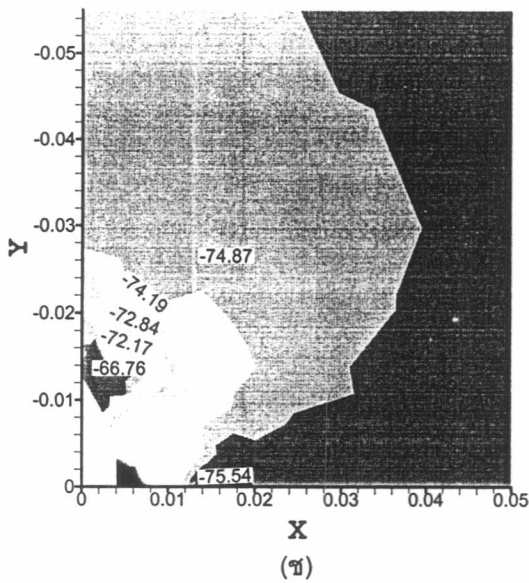
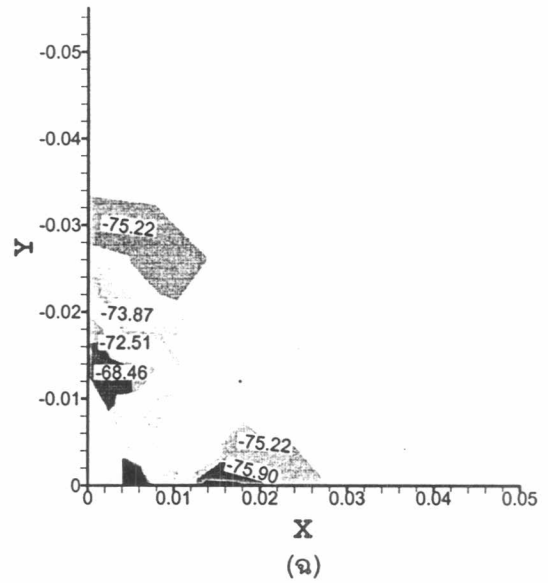
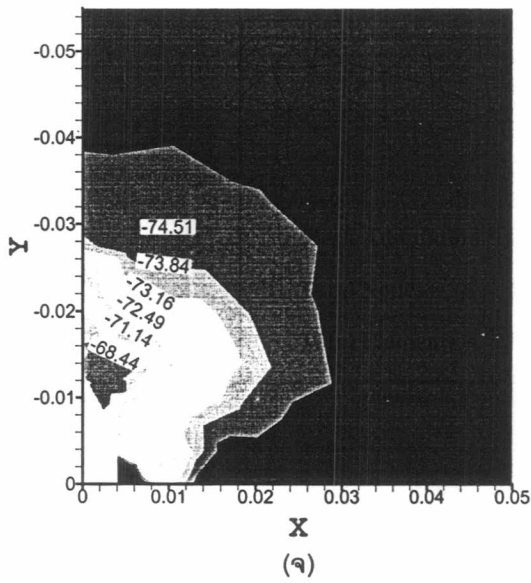
รูปที่ ข.11 ผลการวิเคราะห์ไฟไนต์เอลิเมนต์ของการทดสอบกดแท่งกรวย
ทรงกระบอกปลายแหลมกรณี LSC

(ก) Failure zone $(\sigma_1 - \sigma_3) / (2s_u)$

(ข) ทิศทางของความเค้นหลักเทียบกับแนวแกนตั้ง (δ , องศา)

(ค) ค่าเวกเตอร์การเคลื่อนตัวของรูกาก

(ง) กราฟ Contour ของความเค้นแนวแกนตั้ง (σ_v/s_u)



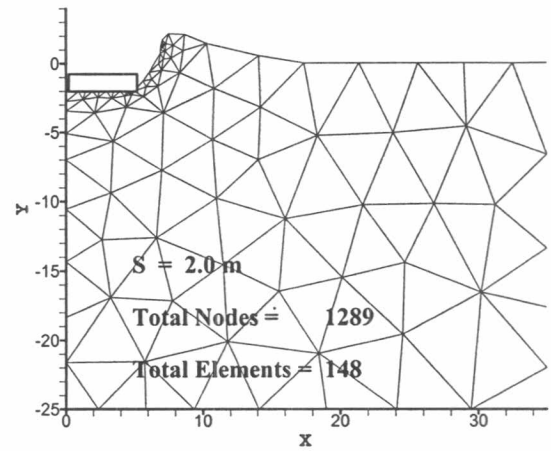
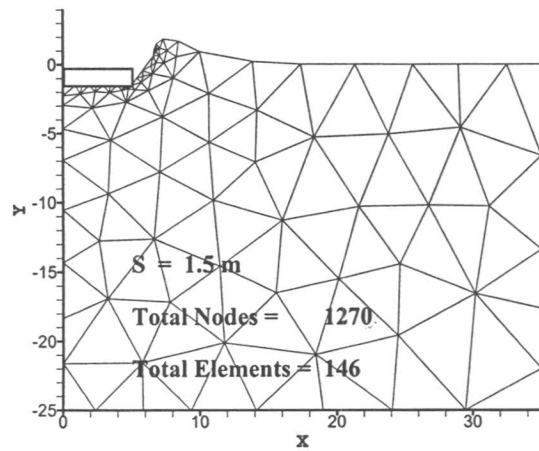
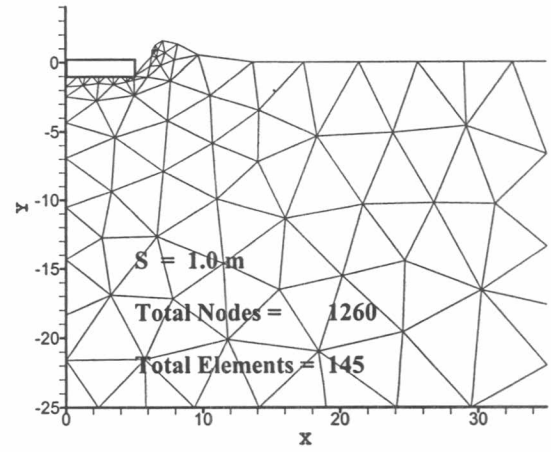
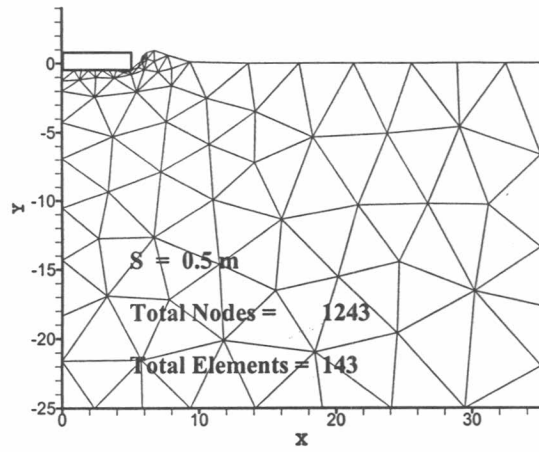
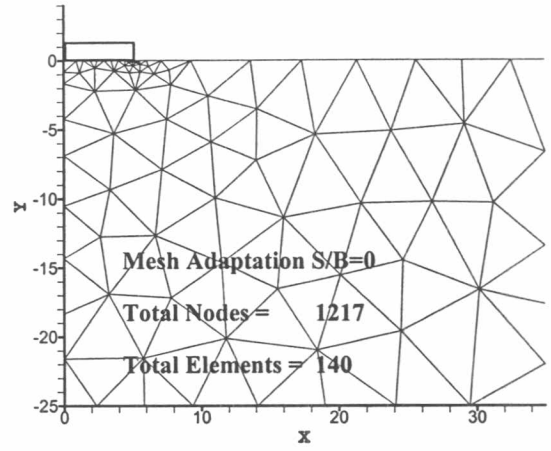
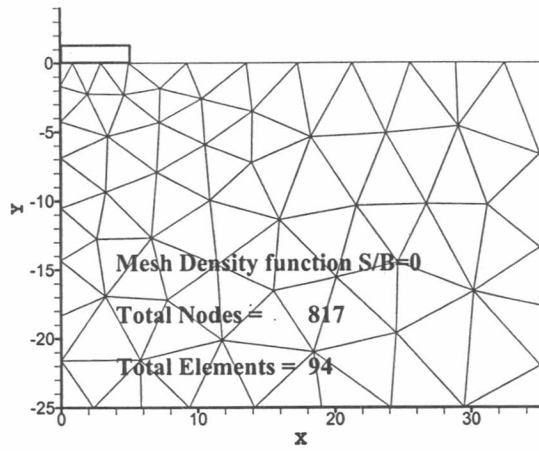
รูปที่ ข.11(ต่อ) ผลการวิเคราะห์ไฟไนต์เอลิเมนต์ของการทดสอบกดแท่งกรวย
ทรงกระบอกปลายแหลมกรณี LSC

(จ) Major Principle Stress (σ_1 / S_u)

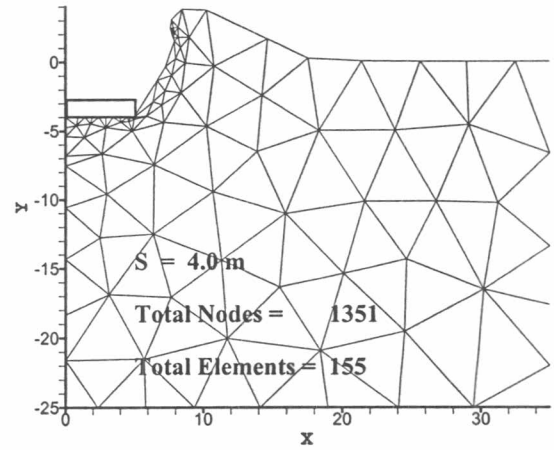
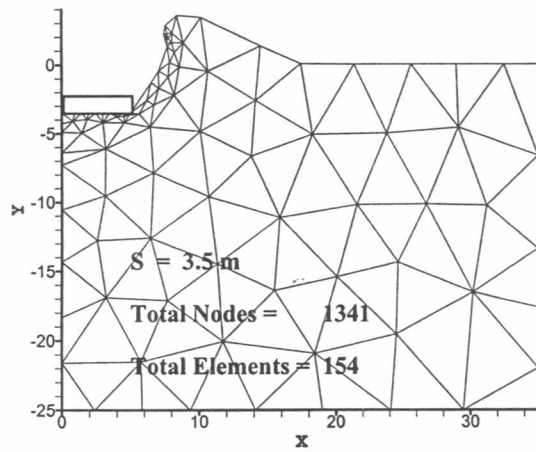
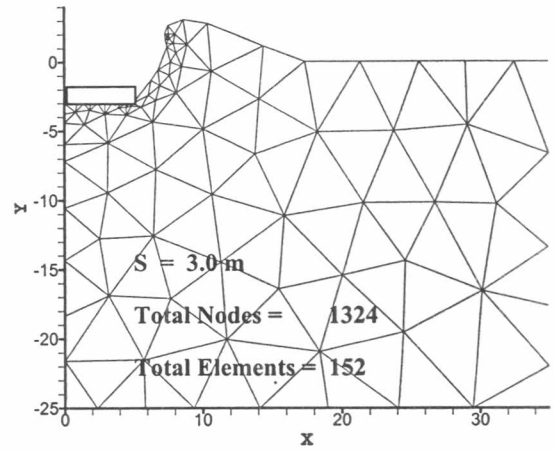
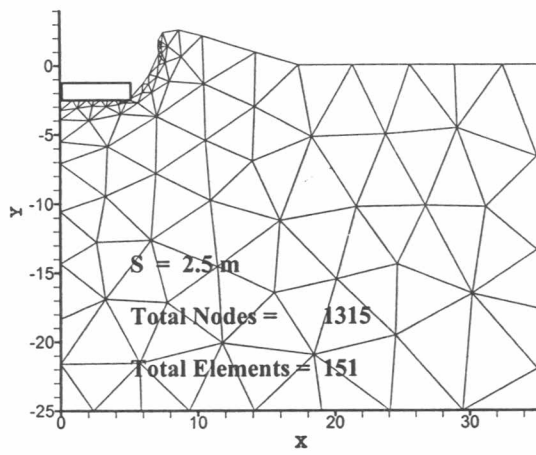
(ข) Minor Principle Stress (σ_3 / S_u)

(ค) Maximum Shear Stress (p / S_u)

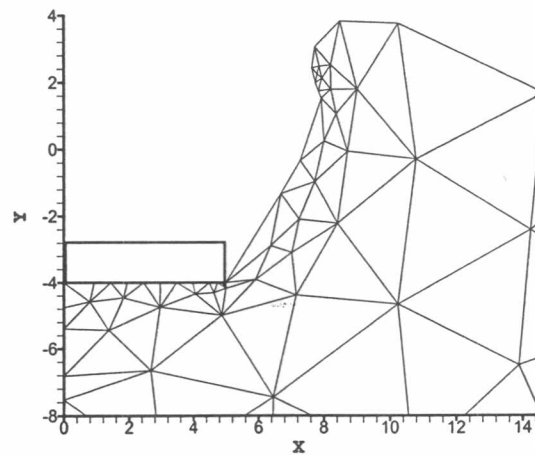
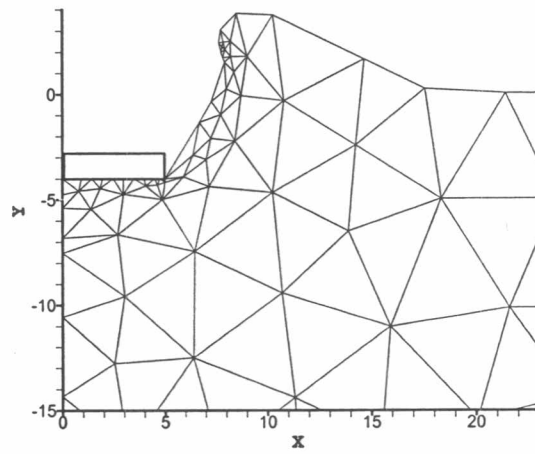
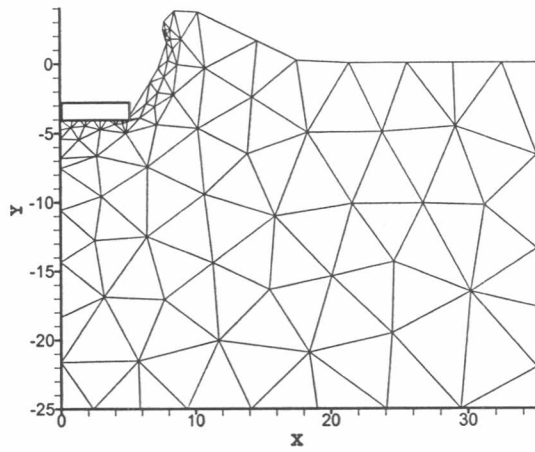
(ง) Normal Stress (q / S_u)



รูปที่ ข.12 โครงข่ายของชิ้นส่วนฐานรองรับต่อเนื่องวางบนผิวดิน กรณี LSC
สำหรับปัญหา Non-Homogeneous ที่ค่า $(\rho.B)/Su_0 = 20$



รูปที่ ข.12(ต่อ) โครงข่ายของชิ้นส่วนฐานรองรับต่อเนื่องวางบนผิวดิน กรณี LSC
สำหรับปัญหา Non-Homogeneous ที่ค่า $(\rho.B)/\bar{S}u_0 = 20$



รูปที่ ข.13 โครงข่ายชิ้นส่วนของฐานรากต่อเนื่องวางบนผิวดิน กรณี LSC ที่ $S = 4.0$ เมตร
ปัญหา Non-Homogeneous ที่ค่า $(\rho.B)/Su_0 = 20$

ภาคผนวก

ภาคผนวก ค

ค.1 กลศาสตร์สำหรับการเคลื่อนตัวมาก

สำหรับปัญหาทางด้านวิศวกรรมปฐพี อาจมีความเป็นไปได้ที่มวลดินจะเกิดการเคลื่อนตัวมาก (Large Deformation) หรือโดยทั่วไป กำหนดที่ค่าความเครียด (Strain) เกินกว่า 3-5% และมีความจำเป็นที่จะต้องวิเคราะห์ปัญหาในรูปแบบไร้เชิงเส้น (Nonlinear Analysis) โดยลักษณะปัญหาแบบไร้เชิงเส้นสามารถแบ่งออกเป็น 2 ชนิดด้วยกัน คือ

1. Material Nonlinearity
2. Geometric Nonlinearity

โดยที่ Material Nonlinearity จะสามารถอธิบายได้โดย สมการความสัมพันธ์ระหว่างความเค้น และความเครียด (Constitutive Equation) ส่วน Geometric Nonlinearity จะพิจารณาถึงปัญหาที่เกิดค่าความเครียดในปริมาณมาก ๆ (Large Strain)

เมื่อมวลดินมีการเคลื่อนตัวน้อย ๆ เราสามารถใช้ Small Deformation Strain Tensor และ Cauchy Stress Tensor ในการวิเคราะห์ปัญหาได้ เนื่องจากจะสมมุติให้ ปริมาตรของมวลดินไม่เปลี่ยนแปลง แต่อย่างไรก็ตาม เมื่อมวลดินมีค่าความเครียดเกินกว่า 5% เราจำเป็นจะต้องเลือกใช้ Stress Tensor และ Strain Tensor ที่มีความเหมาะสม โดยจะต้องพิจารณาว่าเมื่อวัตถุเกิดการหมุน (Rigid Body Rotation) จะต้องไม่ส่งผลกระทบต่อค่าความเครียดของวัตถุ หรือกล่าวอีกนัยหนึ่งว่า Stress Tensor ที่จะใช้สำหรับ Constitutive Equation จะต้องไม่เปลี่ยนแปลง ขณะที่วัตถุเกิดการหมุน นั่นเอง

ในการวิเคราะห์ปัญหามวลดินที่เกิดการเคลื่อนตัวมาก ขั้นตอนแรกจำเป็นจะต้องทราบถึงความสัมพันธ์ระหว่างรูปร่างเริ่มต้น (Initial/Reference/Undeformed Configuration) และรูปร่างภายหลังเกิดการเสียรูป (Deformed Configuration) ดังแสดงในรูปที่ ค.1

โดยที่ รูปร่างเริ่มต้น (Initial/Reference/Undeformed) คือสภาพของวัตถุก่อนที่จะมีแรงมากระทำ รูปร่างภายหลังเกิดการเสียรูป (Deformed) คือสภาพของวัตถุภายหลังจากที่แรงมากระทำ

เมื่อวัตถุได้รับแรงกระทำ จะทำให้วัตถุเกิดการเสียรูป โดยอาจแบ่งลักษณะการเคลื่อนตัวของวัตถุออกเป็น 2 แบบ คือ

1. เกิดการหมุนของวัตถุแข็งเกร็ง (Rigid Body Rotation) และ
2. เกิดค่าความเค้น หรือ วัตถุมีการยืดตัวออก (Strain)

โดยสามารถเขียนความสัมพันธ์ระหว่างเวกเตอร์แสดงตำแหน่งของวัตถุ ในสภาพเริ่มต้น และสภาพหลังเกิดการเสียรูป โดยอาศัย เวกเตอร์การกระจัด (Displacement Vector) ได้ดังนี้

$$x_i = X_i + u_i \quad \dots\dots (ค.1)$$

พิจารณาวัตถุในอนุภาคขนาดเล็ก ๆ และอาศัยกฎลูกโซ่ (Chain Rule) จะได้

$$\partial x_i = \frac{\partial x_i}{\partial X_j} dX_j \quad \dots\dots (ค.2)$$

โดยกำหนดให้ $F_{ij} = \partial x_i / \partial X_j$ และเรียกว่า Deformation Gradient Tensor แทนค่า F_{ij} ด้วยสมการ (ค.1) จะได้

$$F_{ij} = \frac{\partial (X_i + u_i)}{\partial X_j} = \frac{\partial X_i}{\partial X_j} + \frac{\partial u_i}{\partial X_j} = \delta_{ij} + \frac{\partial u_i}{\partial X_j} \quad \dots\dots (ค.3)$$

นอกจากนี้ยังมีคุณสมบัติอื่น ๆ ของค่า F ซึ่งใช้ในการคำนวณค่าความเค้น ความเครียด สำหรับปัญหามวลดินที่เกิดการเคลื่อนตัวมาก ดังนี้

$$1^{\text{st}} \text{ Invariant หรือ Trace of } F \quad : \quad F_{11} + F_{22} + F_{33} = F_{ij} \delta_{ij}$$

$$2^{\text{st}} \text{ Invariant} \quad : \quad \frac{1}{2} (F_{ij} F_{ij} - F_{ii} F_{jj})$$

$$3^{\text{st}} \text{ Invariant} \quad : \quad \det F = J$$

สำหรับคุณสมบัติต่าง ๆ ของค่า F ดังกล่าว สามารถนำมาใช้ในการเขียนความสัมพันธ์ระหว่าง ปริมาตร และพื้นที่ ของวัตถุในสภาวะเริ่มต้น และวัตถุในสภาวะภายหลังเกิดการเสียรูป ได้ดังนี้

$$dV = J dV^\circ \quad \dots\dots (ค.4)$$

$$dA_n = J \left(\frac{\partial X_k}{\partial x_i} \right) dA^\circ N_k \quad \dots\dots (ค.5)$$

โดยที่ dV°, dV = ปริมาตรของวัตถุในสภาวะเริ่มต้น และสภาวะภายหลังเกิดการเสียรูป ตามลำดับ

$d\mathring{A} , dA =$ พื้นที่ผิวของวัตถุในสถานะเริ่มต้น และสถานะภายหลังเกิดการเสียรูปตามลำดับ

$N_k , n_i =$ เวกเตอร์หนึ่งหน่วยที่ตั้งฉากกับ $d\mathring{A}$ และ dA ตามลำดับ

ค.2 การวัดปริมาณความเครียดสำหรับการเคลื่อนตัวมาก (Large Deformation Strain Measures)

ถึงแม้ว่าค่า Deformation Gradient Tensor , F ดังที่ได้กล่าวข้างต้น จะบ่งบอกถึงการเคลื่อนที่ของวัตถุภายหลังจากที่มีแรงมากระทำ แต่อย่างไรก็ตาม ยังไม่สามารถใช้ค่า F ในการคำนวณปริมาณความเครียดได้โดยตรง เนื่องจากยังมีส่วนที่เกิดการหมุนของวัตถุแข็งเกร็ง (Rigid Body rotation) รวมอยู่ด้วย ดังนั้นในการคำนวณปริมาณความเครียด โดยไม่รวมเอาส่วนที่เป็นการหมุนของวัตถุแข็งเกร็งเข้ามาเกี่ยวข้อง จะทำได้โดยการพิจารณาถึงการเปลี่ยนแปลงของความยาวกำลังสองของทิศทางในวัตถุ จากรูปร่างเริ่มต้น ไปยังรูปร่างภายหลังเกิดการเสียรูป โดยที่ค่าความยาวกำลังสองของทิศทางในรูปร่างเริ่มต้น สามารถเขียนแสดงได้ดังนี้

$$(d\mathring{s})^2 = dX_i dX_i \quad \dots\dots (ค.6)$$

และเขียนให้อยู่ในรูปร่างภายหลังเกิดการเสียรูปได้ดังนี้

$$(ds)^2 = dx_i dx_i \quad \dots\dots (ค.7)$$

ดังนั้นสามารถหาค่า Strain Tensor , E_{ij} ได้จากความสัมพันธ์ดังต่อไปนี้

$$(ds)^2 - (d\mathring{s})^2 = dx_i dx_i - dX_i dX_i \quad \dots\dots (ค.8)$$

$$= 2dX_i E_{ij} dX_j \quad \dots\dots (ค.9)$$

แปลงค่า dx_i โดยใช้ Deformation Gradient Tensor สามารถจัดรูปสมการ (ค.8) ได้ดังนี้

$$\begin{aligned} (ds)^2 - (d\mathring{s})^2 &= \left(\frac{\partial x_k}{\partial X_i} dX_i \right) \left(\frac{\partial x_k}{\partial X_j} dX_j \right) - dX_i \delta_{ij} dX_j \\ &= (F_{ki} dX_i) (F_{kj} dX_j) - dX_i \delta_{ij} dX_j \end{aligned}$$

$$= dX_i (F_{ki} F_{kj} - \delta_{ij}) dX_j \quad \dots\dots (ค.10)$$

จากความสัมพันธ์ของสมการ (ค.9) และ (ค.10) จะได้

$$E_{ij} = \frac{1}{2} (F_{ki} F_{kj} - \delta_{ij}) \quad \dots\dots (ค.11)$$

ค่า Strain Tensor ที่ได้นี้ จะไม่รวมผลของการหมุนของวัตถุแข็งเกร็ง และยังสามารถใช้ได้กับปัญหาการเคลื่อนตัวของมวลดิน ที่มีขนาดของการเคลื่อนตัวไม่จำกัด โดยที่ Strain Tensor นี้ มีชื่อเรียกว่า Green-Lagran Strain Tensor

สำหรับความแตกต่างระหว่าง Green-Lagran Strain Tensor และ Small Deformation Strain Tensor สามารถพิจารณาได้โดย ทำการแทนสมการ (ค.3) ลงในสมการ (ค.11) และจัดรูปใหม่ จะได้ความสัมพันธ์ดังต่อไปนี้

$$\begin{aligned} E_{ij} &= \frac{1}{2} \left[\left(\delta_{ki} + \frac{\partial u_k}{\partial X_i} \right) \left(\delta_{kj} + \frac{\partial u_k}{\partial X_j} \right) - \delta_{ij} \right] \\ &= \frac{1}{2} \left(\delta_{ij} + \frac{\partial u_i}{\partial X_j} + \frac{\partial u_j}{\partial X_i} + \frac{\partial u_k}{\partial X_i} \frac{\partial u_k}{\partial X_j} - \delta_{ij} \right) \\ &= \frac{1}{2} \left(\frac{\partial u_i}{\partial X_j} + \frac{\partial u_j}{\partial X_i} + \frac{\partial u_k}{\partial X_i} \frac{\partial u_k}{\partial X_j} \right) \quad \dots\dots (ค.12) \end{aligned}$$

จากสมการข้างบน จะสังเกตได้ว่า สำหรับ Large Deformation Strain Tensor จะมีพจน์กำลังสองเข้ามาเกี่ยวข้อง ซึ่งหมายความว่า ในการวิเคราะห์ปัญหามวลดินที่เกิดการเคลื่อนตัวมาก จะเป็นแบบไร้เชิงเส้น (Nonlinear) เมื่อเปรียบเทียบกับ Small Deformation Strain Tensor ดังแสดงต่อไปนี้

$$\varepsilon_{ij} = \frac{1}{2} \left(\frac{\partial u_i}{\partial X_j} + \frac{\partial u_j}{\partial X_i} \right) \quad \dots\dots (ค.13)$$

จะกล่าวได้ว่า ถ้าสมมติให้การเคลื่อนตัวของมวลดินมีขนาดน้อย ๆ จะตัดพจน์กำลังสองออกจาก Green-Lagran Strain Tensor และทำให้ผลการวิเคราะห์ปัญหามวลดินที่มีการเคลื่อนตัวน้อย ๆ เป็นแบบเส้นตรง (Linear)

นอกจากนั้น จะเห็นว่าค่า Displacement Gradient , $\partial u_i / \partial X_j$ ใน Green-Lagran Strain Tensor จะอ้างอิงจากรูปร่างเริ่มต้น (Initial Configuration) ดังนั้นในการวัดปริมาณความเครียด ก็จะสามารถมาจากรูปร่างเริ่มต้น เช่นเดียวกัน

ค.3 การวัดปริมาณความเค้นสำหรับการเคลื่อนตัวมาก (Large Deformation Stress Measures)

ในการวิเคราะห์ปัญหาพลวัตที่เกิดการเคลื่อนตัวมาก โดยส่วนใหญ่จะใช้ Green-Lagran Strain Tensor ในการวัดปริมาณความเครียด (Strain Measures) ดังได้กล่าวมาแล้วข้างต้น ดังนั้นจึงมีความจำเป็นที่จะต้องหาการวัดปริมาณความเค้น (Stress Measures) ที่เหมาะสมในการใช้ร่วมกับ Strain Tensor ดังกล่าว โดยที่ Stress Tensor ชนิดนี้ จะต้องไม่เปลี่ยนแปลงเมื่อวัตถุเกิดการหมุน (Rigid Body Rotation)

ก่อนอื่นจะพิจารณาถึง Cauchy Stress Tensor ซึ่งใช้สำหรับวัดปริมาณความเค้นในการวิเคราะห์ปัญหาพลวัตที่มีการเคลื่อนตัวน้อย ๆ โดยสามารถหาได้จาก แรงต่อพื้นที่ภายหลังเกิดการเสียรูป (Force / Unit Deformed Area) และการวัดปริมาณความเครียด (Strain Measures) ที่เหมาะสมในการใช้ร่วมกับ Cauchy Stress Tensor ก็คือ Small Deformation Strain Tensor แต่อย่างไรก็ตาม ข้อจำกัดในการใช้ Stress tensor นี้ ในการวิเคราะห์ปัญหาพลวัตที่เกิดการเคลื่อนตัวมากนั้น ก็คือ เราจะไม่ทราบพื้นที่ของวัตถุในรูปร่างภายหลังเกิดการเสียรูปแล้วนั่นเอง ดังนั้นจึงจำเป็นต้องหาการวัดปริมาณความเค้นแบบใหม่ ซึ่งสามารถใช้อ้างอิงได้กับรูปร่างเริ่มต้น

พิจารณาแรง dP_j ที่กระทำบนพื้นที่ผิวของวัตถุภายหลังเกิดการเสียรูป $dA_i = dAn_i$ โดยที่ n_i คือ เวกเตอร์หนึ่งหน่วยที่ตั้งฉากกับ dA ดังนั้นสามารถเขียนความสัมพันธ์ของ Stress Tensor ที่ได้มาจากการอ้างอิงถึงวัตถุในรูปร่างภายหลังเกิดการเสียรูป ได้ดังนี้

$$dP_j = \sigma_{ij} dA n_i \quad \dots\dots (ค.14)$$

โดยที่ σ_{ij} เรียกว่า Cauchy Stress Tensor และเป็นเมตริกซ์สมมาตร , $\sigma_{ij} = \sigma_{ji}$ นอกจากนี้ Cauchy Stress Tensor ยังเป็น Real Stress เนื่องจากว่าหามาจาก แรงต่อพื้นที่ภายหลังเกิดการเสียรูป ซึ่งต่างจาก Pseudo Stress ที่หามาจาก แรงต่อพื้นที่ของวัตถุในสภาพเริ่มต้น (Force / Unit Undeformed Area)

ต่อไปพิจารณาถึง Stress Tensor, T_{ij} แบบใหม่ ที่ได้มาจากการอ้างอิงถึงพื้นที่ผิวของวัตถุในรูปร่างเริ่มต้น $d\mathring{A}_i = d\mathring{A}N_i$ โดยที่ N_i คือ เวกเตอร์หนึ่งหน่วยที่ตั้งฉากกับ $d\mathring{A}$ ดังนั้นสามารถเขียนความสัมพันธ์ระหว่างแรง dP_j ที่กระทำบนพื้นที่ผิวของวัตถุภายหลังเกิดการเสียรูป เช่นเดียวกัน ในรูปของ Stress Tensor แบบใหม่ได้ดังนี้

$$dP_j = T_{ij}d\mathring{A}N_i \quad \dots\dots (ค.15)$$

โดยเรียก Stress Tensor, T_{ij} แบบใหม่นี้ว่า 1st Piola-Kirchoff Stress Tensor และเป็น Pseudo Stress เนื่องจากว่า มาจาก แรงต่อพื้นที่ของวัตถุในสภาพเริ่มต้น

จากนั้น แทนความสัมพันธ์ระหว่าง dA กับ $d\mathring{A}$ ในสมการ (ค.5) ซึ่งก็คือ $dAn_i = J\left(\frac{\partial X_k}{\partial x_i}\right)d\mathring{A}N_k$ ลงในสมการ (ค.14) ดังนั้นสามารถเขียนความสัมพันธ์ระหว่างสมการ (ค.14) และ (ค.15) ได้ดังนี้

$$\sigma_{ij}J\left(\frac{\partial X_k}{\partial x_i}\right)d\mathring{A}N_k = T_{ij}d\mathring{A}N_i \quad \dots\dots (ค.16)$$

ทำการจัดรูปใหม่จะได้

$$\left(\sigma_{ij}J\frac{\partial X_k}{\partial x_i} - T_{kj}\right)d\mathring{A}N_k = 0 \quad \dots\dots (ค.17)$$

ดังนั้นจะได้ความสัมพันธ์ระหว่าง 1st Piola-Kirchoff Stress Tensor และ Cauchy Stress Tensor ดังต่อไปนี้

$$T_{kj} = J\frac{\partial X_k}{\partial x_i}\sigma_{ij}$$

หรือ
$$T_{ij} = J\frac{\partial X_i}{\partial x_k}\sigma_{kj} \quad \dots\dots (ค.18)$$

อย่างไรก็ตาม 1st Piola-Kirchoff Stress Tensor ก็ยังมีข้อจำกัดอยู่ 2 ประการ ดังนี้คือ

1. Stress Tensor ชนิดนี้ ไม่เหมาะสมในการใช้ร่วมกับ Green-Lagran Strain Tensor เนื่องจาก ผลคูณระหว่าง 1st Piola-Kirchoff Stress Tensor กับ Green-Lagran Strain Tensor จะให้ผลลัพธ์เป็น ความหนาแน่นของพลังงานความเครียด (Strain Energy Density) ที่มีค่าไม่เท่ากับ ผลคูณระหว่าง Cauchy Stress Tensor กับ Small Deformation Strain Tensor

2. Stress Tensor ชนิดนี้ จะไม่สมมาตร จึงทำให้เป็นการยากในการวิเคราะห์เชิงตัวเลขโดยวิธีไฟไนต์เอลิเมนต์

ในลำดับต่อไปจะกล่าวถึง Stress Tensor, S_{ij} อีกชนิดหนึ่ง โดยแทนที่จะพิจารณาถึงแรง dP_j ที่กระทำบนพื้นที่ผิวของวัตถุภายหลังเกิดการเสียรูป แต่จะทำการแปลงกลับไปให้เป็นแรง $d\bar{P}_j$ ที่กระทำบนพื้นที่ผิวของวัตถุในสภาพเริ่มต้น โดยอาศัย Inverse ของ Deformation Gradient Tensor ดังนี้

$$d\bar{P}_j = F_{jk}^{-1} dP_k = \frac{\partial X_j}{\partial x_k} dP_k \quad \dots\dots (ค.19)$$

ถ้าเรากำหนดให้ Stress Tensor, S_{ij} ชนิดใหม่นี้ พิจารณาถึงแรง $d\bar{P}_j$ ที่กระทำบนพื้นที่ผิวของวัตถุในสภาพเริ่มต้น รวมทั้งยังอ้างอิงถึงพื้นที่ผิวของวัตถุในรูปร่างเริ่มต้น เช่นเดียวกัน ดังนั้นสามารถเขียนความสัมพันธ์ได้ดังนี้

$$d\bar{P}_j = S_{ij} N_i d\bar{A} \quad \dots\dots (ค.20)$$

โดยเรียก Stress Tensor, S_{ij} ชนิดใหม่นี้ว่า 2nd Piola-Kirchoff Stress Tensor และเป็น Pseudo Stress เนื่องจากว่า มาจาก แรงต่อพื้นที่ของวัตถุในสภาพเริ่มต้น นอกจากนั้น เมตริกซ์ที่ได้ยังมีความสมมาตร, $S_{ij} = S_{ji}$ อีกด้วย

จากสมการ (ค.5) และ (ค.14) จะได้ว่า

$$dP_k = \sigma_{ik} J \left(\frac{\partial X_j}{\partial x_i} \right) d\bar{A} N_j \quad \dots\dots (ค.21)$$

แทนสมการ (ค.21) ลงในสมการ (ค.19) ดังนั้นสามารถเขียนความสัมพันธ์ระหว่างสมการ (ค.19) และ (ค.20) ได้ดังนี้

$$\frac{\partial X_j}{\partial x_k} \sigma_{ik} J \left(\frac{\partial X_j}{\partial x_i} \right) d\bar{A} N_j = S_{ij} N_i d\bar{A} \quad \dots\dots (ค.22)$$

ทำการจัดรูปใหม่ จะได้

$$\left(J \sigma_{jk} \left(\frac{\partial X_i}{\partial x_j} \right) - S_{ij} \frac{\partial x_k}{\partial X_j} \right) d\bar{A} N_i = 0 \quad \dots\dots (ค.23)$$

ดังนั้นจะได้ความสัมพันธ์ระหว่าง 2^{nd} Piola-Kirchoff Stress Tensor และ Cauchy Stress Tensor ดังต่อไปนี้

$$S_{ij} = J \sigma_{kl} \frac{\partial X_i}{\partial x_k} \frac{\partial X_j}{\partial x_l} \quad \dots\dots (ค.24)$$

และจากสมการ (ค.18) จะสามารถเขียนความสัมพันธ์ระหว่าง 2^{nd} Piola-Kirchoff Stress Tensor และ 1^{st} Piola-Kirchoff Stress Tensor ได้ดังนี้

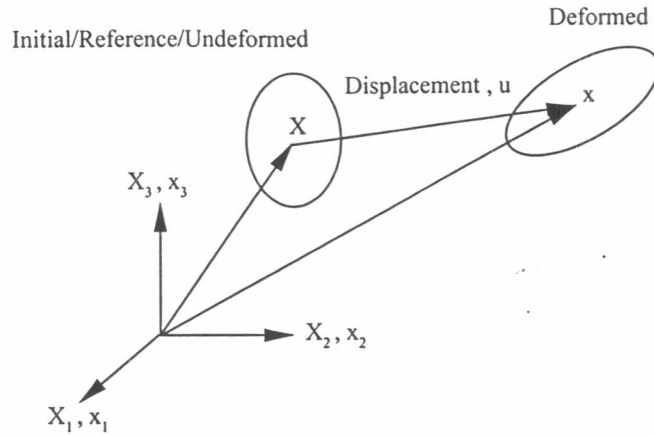
$$S_{ij} = T_{ik} \frac{\partial X_j}{\partial x_k} \quad \dots\dots (ค.25)$$

เมื่อทำการวิเคราะห์ห้วงเวลาที่เกิดการเคลื่อนตัวน้อย ๆ (Small Deformation) จะได้ว่า Cauchy Stress Tensor , 1^{st} Piola-Kirchoff Stress Tensor และ 2^{nd} Piola-Kirchoff Stress Tensor จะประมาณให้มีค่าเท่ากัน เนื่องจาก $J \cong 1$ และ $\frac{\partial x_i}{\partial X_j} \cong \delta_{ij}$

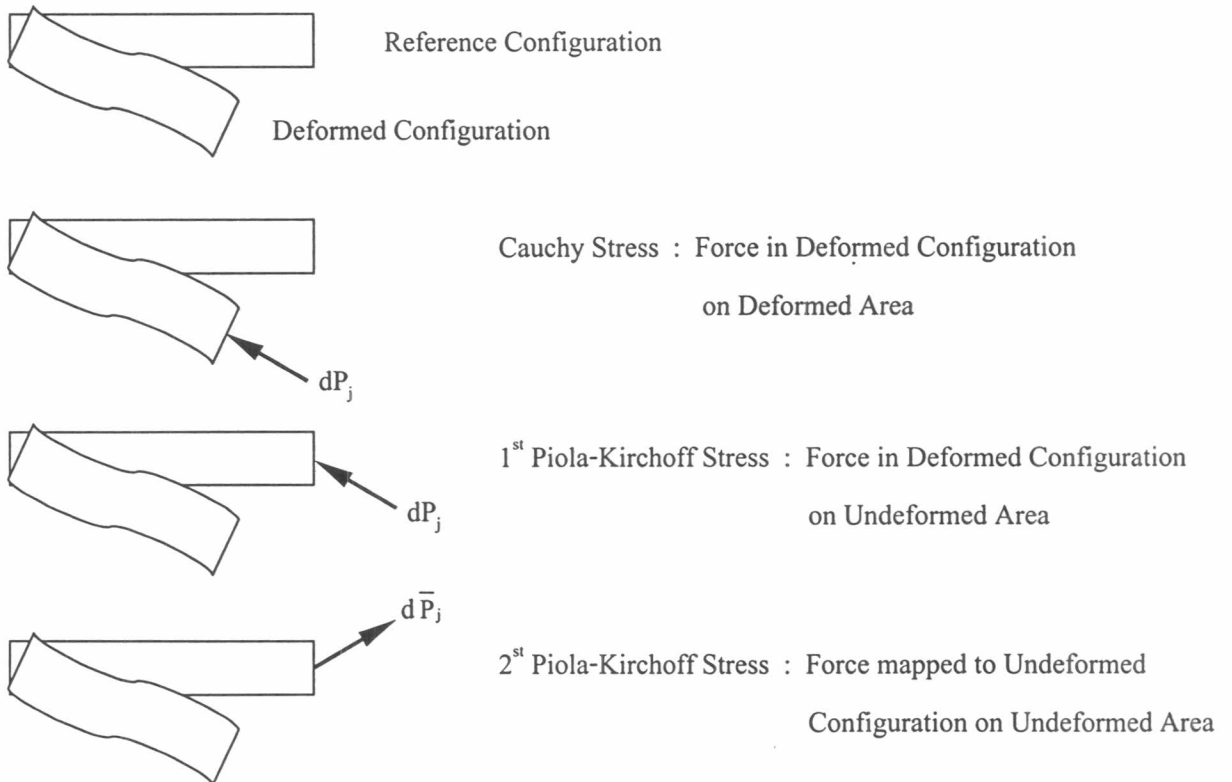
สำหรับ 2^{nd} Piola-Kirchoff Stress Tensor จะมีค่าไม่เปลี่ยนแปลงเมื่อวัตถุเกิดการหมุน (Rigid Body Rotation) หรือกล่าวได้ว่า การหมุนของวัตถุ ไม่มีผลต่อค่าความเครียด ส่วน Cauchy Stress Tensor และ 1^{st} Piola-Kirchoff Stress Tensor จะเกิดการเปลี่ยนแปลง นอกจากนั้น ความหนาแน่นของพลังงานความเครียด (Strain Energy Density) ที่คำนวณจาก 2^{nd} Piola-Kirchoff Stress Tensor กับ Green-lagran Strain Tensor ยังมีค่าเท่ากับ ที่คำนวณจาก Cauchy Stress Tensor กับ Small Deformation Strain Tensor ดังแสดงในสมการต่อไปนี้

$$\sigma_{ij} \epsilon_{ij} = S_{ij} E_{ij} \quad \dots\dots (ค.26)$$

สำหรับความหมายในเชิงฟิสิกส์ (Physical Meaning) สำหรับ Stress Tensor ทั้งสามนี้ สามารถอธิบายได้ดังรูปที่ ค.2



รูปที่ ค.1 ความสัมพันธ์ระหว่าง รูปร่างเริ่มต้น และ รูปร่างภายหลังเกิดการเสียรูป



รูปที่ ค.2 Physical Meaning สำหรับ Stress Tensor ชนิดต่าง ๆ

ภาคผนวก

ภาคผนวก ง

ง.1 วิธีหาค่าหน่วยแรงรวมใต้ฐานรองรับ (F_{net} and F_{Total})

ในวิทยานิพนธ์ฉบับนี้จะกำหนดให้มีการหาค่าหน่วยแรงรวมภายใต้ฐานรองรับใน 2 ลักษณะด้วยกัน คือ

(1) ค่าหน่วยแรงรวมสุทธิภายใต้ฐานรองรับ หรือ F_{net} หมายถึง การรวมค่าหน่วยแรงภายใต้ฐานรองรับ โดยจะไม่พิจารณาผลของค่าหน่วยแรงเริ่มต้น (Initial Body Force) เข้ามาเกี่ยวข้อง

(2) ค่าหน่วยแรงรวมทั้งหมดใต้ฐานรองรับ หรือ F_{Total} ซึ่งจะหมายถึง การรวมค่าหน่วยแรงภายใต้ฐานรองรับ ที่พิจารณาผลของค่าหน่วยแรงเริ่มต้นเข้าไปด้วย

ซึ่งในการหาค่าหน่วยแรงรวมภายใต้ฐานรองรับทั้ง 2 ลักษณะดังกล่าว จะพิจารณาจากผลของการวิเคราะห์ปัญหา ทั้งในแบบที่พิจารณาผลของหน่วยน้ำหนัก ($\gamma \neq 0 \text{ kN/m}^3$) และไม่พิจารณาผลของหน่วยน้ำหนัก ($\gamma = 0 \text{ kN/m}^3$) ดังที่แสดงไว้ในตารางที่ ง.1 และ ง.2 ตามลำดับ

สำหรับการคำนวณหาค่า F_{net} จะกระทำได้โดยการนำค่า Incremental Stress หรือ ค่า $\Delta\sigma_n$ (แสดงไว้ในคอลัมน์ที่ 2 จากตารางที่ ง.1 และ ง.2) ที่คำนวณได้จากวิธีไฟไนต์เอลิเมนต์ ในแต่ละวงรอบของการเพิ่มค่าการทรุดตัว มาทำการอินทิเกรตสำหรับทุก ๆ จุดต่อทั้งหมด ที่อยู่ภายใต้ฐานรองรับ ซึ่งจะทำให้ได้ค่าแรงรวมที่เพิ่มขึ้น ΔF_{net} สำหรับวงรอบการคำนวณที่พิจารณา จากสมการดังต่อไปนี้

$$\Delta F_{net}^n = \int \Delta\sigma_n \cdot dL \quad \dots\dots (ง.1)$$

โดยที่ ΔF_{net}^n คือ ค่าแรงรวมสุทธิที่เพิ่มขึ้น สำหรับวงรอบของการเพิ่มค่าการทรุดตัวที่ n

$\Delta\sigma_n$ คือ ค่าหน่วยแรงที่เพิ่มขึ้นที่คำนวณได้จากวิธีไฟไนต์เอลิเมนต์ สำหรับวงรอบของการเพิ่มค่าการทรุดตัวที่ n

ดังนั้นจะสามารถหาค่า F_{net} ได้จากการรวมค่า ΔF_{net} สำหรับแต่ละวงรอบของการเพิ่มค่าการทรุดตัว ที่คำนวณได้ดังกล่าว จากสมการดังนี้

$$F_{net} = \Delta F_{net}^1 + \Delta F_{net}^2 + \dots + \Delta F_{net}^n \quad \dots\dots (ง.2)$$

เนื่องจากค่า F_{net} ที่คำนวณได้ จะไม่พิจารณาผลของค่าหน่วยแรงเริ่มต้นเข้ามาเกี่ยวข้อง เนื่องจากเป็นค่าแรงรวมสุทธิที่ได้จากการอินทิเกรตเฉพาะค่าหน่วยแรงที่เพิ่มขึ้น ดังนั้นจากผลการวิเคราะห์ปัญหาสำหรับค่า γ ต่าง ๆ กัน พบว่า ค่า F_{net} ที่คำนวณได้ก็จะให้ค่าที่เท่ากัน

การคำนวณหาค่า F_{Total} จะกระทำได้โดยการนำค่า Cumulative Stress หรือ ค่า σ_n (แสดงไว้ในคอลัมน์ที่ 3 จากตารางที่ ง.1 และ ง.2) ซึ่งเป็นค่าหน่วยแรงที่ได้จากการบวกสะสมค่าหน่วยแรงที่เพิ่มขึ้น $\Delta\sigma_n$ ที่คำนวณได้จากวิธีไฟไนต์เอลิเมนต์ ในแต่ละวงรอบของการเพิ่มค่าการทรุดตัว รวมทั้งผลของค่าหน่วยแรงเริ่มต้น, γZ เข้าไว้ด้วยกัน มาทำการอินทิเกรตสำหรับทุก ๆ จุดต่อทั้งหมด ที่อยู่ภายใต้ฐานรองรับ ซึ่งจะทำให้ได้ค่าแรงรวมทั้งหมดภายใต้ฐานรองรับ F_{Total} จากสมการดังต่อไปนี้

$$F_{Total} = \int \sigma_n \cdot dL \quad \dots\dots (ง.3)$$

โดยที่ F_{Total} คือ ค่าแรงรวมทั้งหมดภายใต้ฐานรองรับ

σ_n คือ ค่าหน่วยแรงสะสม ที่รวมผลของค่าหน่วยแรงเริ่มต้น สำหรับวงรอบของการเพิ่มค่าการทรุดตัวที่ n

จากนั้นนำค่าหน่วยแรงรวมภายใต้ฐานรองรับที่คำนวณได้ ทั้งในแบบ F_{Nct} และ F_{Total} มาหารด้วยขนาดความกว้างของฐานรองรับ, B ซึ่งจะได้เป็นค่ากำลังรับน้ำหนักของมวลดิน และค่าที่ได้จะบันทึกลงในแฟ้มข้อมูล "Bearing Data" สำหรับแต่ละวงรอบของการคำนวณ

ตารางที่ ง.1 การรวมค่าหน่วยแรงที่ได้จากไฟไนต์เอลิเมนต์ กรณีที่ไม่พิจารณาค่าหน่วยน้ำหนัก

Loop	Incremental Stress (จาก FEM)	Cumulative Stress
0	Initial Stress = γZ	γZ
1	$\Delta\sigma_1$	$\sigma_1 = \gamma Z + \Delta\sigma_1$
2	$\Delta\sigma_2$	$\sigma_2 = \gamma Z + \Delta\sigma_1 + \Delta\sigma_2$
3	$\Delta\sigma_3$	$\sigma_3 = \gamma Z + \Delta\sigma_1 + \Delta\sigma_2 + \Delta\sigma_3$
\vdots	\vdots	\vdots
n	$\Delta\sigma_n$	$\sigma_n = \gamma Z + \Delta\sigma_1 + \Delta\sigma_2 + \dots + \Delta\sigma_n$

ตารางที่ ง.2 การรวมค่าหน่วยแรงที่ได้จากไฟไนต์เอลิเมนต์ กรณีที่พิจารณาหน่วยน้ำหนัก

Loop	Incremental Stress (จาก FEM)	Cumulative Stress
0	Initial Stress = 0	0
1	$\Delta\sigma_1$	$\sigma_1 = \Delta\sigma_1$
2	$\Delta\sigma_2$	$\sigma_2 = \Delta\sigma_1 + \Delta\sigma_2$
3	$\Delta\sigma_3$	$\sigma_3 = \Delta\sigma_1 + \Delta\sigma_2 + \Delta\sigma_3$
\vdots	\vdots	\vdots
n	$\Delta\sigma_n$	$\sigma_n = \Delta\sigma_1 + \Delta\sigma_2 + \dots + \Delta\sigma_n$

ประวัติผู้เขียนวิทยานิพนธ์

นาย ธเนศ สุทธิวรารักษ์ เกิดวันที่ 5 ธันวาคม 2523 ที่จังหวัดกรุงเทพฯ สำเร็จการศึกษาปริญญาวิศวกรรมศาสตรบัณฑิต ภาควิชาวิศวกรรมโยธา จาก จุฬาลงกรณ์มหาวิทยาลัย ในปีการศึกษา 2543 และเข้าศึกษาต่อในระดับปริญญาวิศวกรรมศาสตรมหาบัณฑิต สาขาวิศวกรรมโยธา จุฬาลงกรณ์มหาวิทยาลัย ในปีการศึกษา 2544